

**Dieta de *Anolis porcatus* Gray, 1840
(Squamata, Dactyloidae) en el campo
de Golf Las Américas, Tenerife**

**Diet of *Anolis porcatus* Gray, 1840 (Squamata, Dactyloidae) at Las
Américas Golf, Tenerife**

Trabajo de Fin de Máster

CARLA LUIS SÁNCHEZ

Tutorizado por Aarón González Castro y Juan Carlos Rando Reyes

Máster en Biodiversidad Terrestre y Conservación en Islas. Julio 2024

Índice

Agradecimientos.....	1
Resumen	2
<i>Abstract</i>	2
1. Introducción.....	3
2. Material y métodos	7
3. Resultados.....	11
4. Discusión	20
5. Conclusiones.....	23
6. <i>Conclusions</i>	24
7. Bibliografía	25
Anexo I.....	30
Anexo II.....	32

Agradecimientos

Las primeras personas a las que quisiera darles las gracias son mis tutores, ya que, por motivos evidentes, sin su ayuda no podría haber terminado este trabajo. Aarón, este es el segundo año que me tutorizas un Trabajo de Fin de “algo”, y quisiera agradecerte nuevamente la infinita paciencia que has tenido conmigo explicándome temas tan intangibles como el p-valor (cosa que aun sigo sin dominar). A ambos les agradezco sacar el tiempo y las fuerzas de corregir todas y cada una de las versiones de este manuscrito. También agradecer a la empresa GESPLAN por haber cedido los individuos de anolis protagonistas de este trabajo y a David Lugo (Departamento de Biología Animal, Edafología y Geología) por ayudar con la identificación de las presas.

Gracias a mi Santiago por aguantar esas recaídas en el estrés, sobre todo, a lo largo de las últimas semanas de junio, en las que la vida me ha querido poner a prueba en muchos sentidos. Y, por último, gracias a mis padres por darme las alas que me han permitido conseguir todo aquello que me he propuesto.

A pesar de que no leerías ni el resumen, este trabajo te lo dedico a ti, papá. Espero esta vez también “triunfar más que la Coca-Cola”. Gracias.

Resumen

Actualmente, las especies exóticas invasoras se consideran una de las principales causas de pérdida de biodiversidad a nivel mundial. En territorios aislados, como las islas, cuya naturaleza resulta más frágil que la de los continentes, las consecuencias resultan incluso más devastadoras. El archipiélago canario, situado estratégicamente en una ruta intercontinental y famoso por su interés turístico, se encuentra ante el riesgo constante de la llegada de nuevas especies exóticas. Entre las más recientes, se encuentra el anolis cubano verde (*Anolis porcatius*). Esta especie, nativa de América y ahora mismo asentada en el campo de Golf Las Américas (sur de Tenerife), posee unos rasgos que la convierten en una óptima candidata a especie exótica invasora. Por ello, el presente trabajo estudia su ecología trófica a través de la determinación de su dieta en esta localidad. Los resultados demuestran que, a pesar de consumir numerosos invertebrados, tanto en cantidad como en variedad taxonómica, mantienen un nicho trófico especialista. Además, en la población estudiada, hemos comprobado que su nicho trófico no está determinado por factores como el sexo o el tamaño de los individuos, como se ha visto en otras especies del género *Anolis*. Sin embargo, estos datos pueden no ser del todo concluyentes, pues es incuestionable la influencia del entorno donde se localiza sobre la amplitud de nicho, así como la dificultad del sexado para estudiar las diferencias de la dieta entre sexos.

Abstract

Nowadays, invasive alien species are considered as one of the main causes of biodiversity loss worldwide. In isolated territories, such as islands, whose nature is more fragile than that from continents, the consequences are even more devastating. The Canary Islands, strategically located on an intercontinental route and famous for its tourist appeal, is at constant risk from the arrival of new alien species. The Cuban green anole (*Anolis porcatius*) is among the most recently introduced species in the Canaries. This species, native to America and now settled in the golf course Las Americas (south of Tenerife), has some features that make it an excellent candidate to become an invasive alien species. For this reason, the present study is aimed to study its trophic ecology by determining its diet in this limited area. The results show that, despite consuming numerous invertebrates, both in quantity and taxonomic variety, they maintain a specialized trophic niche. Furthermore, in the population studied, we have found that their trophic niche is not

determined by factors such as sex or body size of individuals, as it has been seen in other *Anolis* species. However, these data may not be entirely conclusive, as the influence of the environment on niche breadth is unquestionable, as well as the difficulty of sexing to study dietary differences between sexes.

1. Introducción

Durante décadas, la biota de las islas oceánicas ha suscitado curiosidad en el mundo científico, siendo la protagonista de múltiples teorías que intentan desentrañar los mecanismos de su génesis (p. ej., Heaney, 2000; MacArthur y Wilson, 1967; Whittaker *et al.*, 2008). A pesar de los distintos matices que existen entre estas teorías y las nuevas aportaciones que puedan ofrecer las más recientes, todas mencionan la distancia al continente (o aislamiento) como una de las variables determinantes de la riqueza en especies de una isla oceánica, siendo el mar la primera barrera geográfica que deben superar los organismos para colonizar de manera exitosa los ecosistemas insulares (Whittaker *et al.*, 2023). Sin embargo, la expansión del ser humano ha posibilitado la introducción de especies a lo largo del mundo (DiCasti, 1989), alterando las tasas de los procesos clave por los que se conforma la biodiversidad insular: especiación, inmigración y extinción (Matthews y Triastis, 2021); lo que está provocando una paulatina homogeneización biótica a nivel global (McKinney y Lockwood, 1999). Durante las últimas décadas, el ritmo de este fenómeno se ha visto incrementado como consecuencia de la globalización del comercio y el transporte (Meyerson y Mooney, 2007), registrándose actualmente las tasas más altas de introducciones de especies (Hulme, 2009). Por tanto, el descubrimiento y explotación de nuevas rutas mercantiles y de ocio han debilitado la mencionada barrera geográfica que supone la insularidad, facilitando así la llegada de especies exóticas invasoras (Capinha *et al.*, 2017; Meyerson y Mooney, 2007), EEI en adelante.

Según la definición de la UICN (Unión Internacional para la Conservación de la Naturaleza), las EEI son “animales, plantas u otros organismos que se introducen en lugares fuera de su área de distribución natural, afectando negativamente a la biodiversidad autóctona, los servicios ecosistémicos o el bienestar humano”. Estas especies pueden ser dañinas para la biodiversidad autóctona de diferentes formas, por ejemplo, convirtiéndose en depredadores, parásitos, vectores de enfermedades,

perturbadores de las relaciones mutualistas, o competidores del hábitat y/o los recursos (Williamson, 1996).

Las EEI suponen una de las principales causas de pérdida de biodiversidad en islas (Fernández-Palacios *et al.*, 2021), cuyos impactos se consideran más severos en estos territorios aislados que en el continente (Russell *et al.*, 2017). La razón de este hecho se debe principalmente a la naturaleza vulnerable de la biota insular derivada del aislamiento, la superficie limitada y la fragmentación natural de las islas y los archipiélagos (Frankham *et al.*, 2002), lo que le confiere unas características demográficas, genéticas y evolutivas muy sensibles, propensas al declive poblacional y, consecuentemente, a la extinción (Fernández-Palacios *et al.*, 2021).

A pesar de su baja contribución a la superficie terrestre (6,7%), las islas aportan casi un 20% de la biodiversidad global. Desafortunadamente, también albergan el 50% de las especies amenazadas y en ellas ha tenido lugar el 75% de las extinciones recientes, contadas a partir de la expansión de los europeos (Fernández-Palacios *et al.*, 2021). Según los resultados estadísticos de Leclerc *et al.* (2018), las invasiones biológicas, la explotación de la fauna y las actividades agrícolas son los responsables de la mayor parte de las extinciones ocurridas en islas (85% de 249 especies), y siguen siendo las principales amenazas para la biodiversidad insular, impactando sobre el 60% de 4.127 especies en alguna categoría de amenaza según la IUCN (Leclerc *et al.*, 2018).

1.1. Canarias y las especies exóticas invasoras

Debido a encontrarse en una ruta intercontinental entre Europa, África y América, y ser uno de los destinos turísticos más aclamados por los europeos, las Islas Canarias son un ejemplo perfecto de archipiélago oceánico que se encuentra ante el riesgo constante de la llegada de nuevas especies exóticas, pudiendo posteriormente convertirse en invasoras. De hecho, según el Banco de Datos de Biodiversidad de Canarias, hay un total de 105 especies que podrían ser potencialmente dañinas para los ecosistemas canarios y 243 que ya lo son (Biota, 2024). Entre estas últimas, se encuentran animales como el gato (*Felis catus*) cuya dieta en las islas se compone de al menos 68 especies, de las cuales 62 son endémicas o nativas (Medina y Nogales, 2009); con mención especial al pinzón azul de Gran Canaria (*Fringilla polatzeki*), y a los lagartos gigantes de Tenerife (*Gallotia intermedia*), La Gomera (*G. intermedia*) y El Hierro (*G. simonyi*), todas ellas “en peligro de extinción” según el Real Decreto 139/2011, para el desarrollo del Listado de Especies

Silvestres en Régimen de Protección Especial y del Catálogo Español de Especies Amenazadas. Otro caso es el de la culebra real de California (*Lampropeltis californiae*), la cual se ha convertido en un importante depredador para las especies de reptiles de Gran Canaria. De hecho, un estudio de Cabrera *et al.* (2012) muestra que el 69% de la dieta de esta serpiente son reptiles endémicos de la isla, apareciendo el lagarto (*Gallotia stehlini*), la lisa (*Chalcides sexlineatus*) y el perenquén de Boettger (*Tarentola boettgeri boettgeri*). Además, recientemente se ha visto que, en los sitios invadidos, esta culebra causa una reducción de la población de lagartos superior al 90%, de lisas superior al 80% y de perenquenes superior al 50% (Piquet y López-Darias, 2021). También cabe mencionar a la rata negra (*Rattus rattus*) y la rata parda (*R. norvegicus*) como responsables de extirpaciones locales de aves marinas en las islas centrales (Martín *et al.*, 2002) y la disminución de la población de paloma turqué (*Columba bollii*) en Tenerife (Hernández *et al.*, 1999). A pesar de pertenecer a distintos grupos taxonómicos, todas las especies mencionadas impactan negativamente sobre la biodiversidad de las islas, propiciando así importantes alteraciones ecológicas en los ecosistemas canarios (Barrientos *et al.*, 2009; Flores y Rando, 2021; Medina y Nogales, 2009; Traveset *et al.*, 2009).

Entre las introducciones recientes de reptiles en Canarias, se encuentra el anolis cubano verde (*Anolis porcatius*), introducido de forma accidental en las islas a través de la importación de plantas ornamentales desde Cuba (Hernández-Ferrer *et al.*, 2023). Este lagarto, al igual que sus congéneres, se distribuye de forma natural en el continente americano, desde la mitad septentrional de Sudamérica hasta el sur de los Estados Unidos, pasando por numerosas islas del Caribe (Losos, 2009). *A. porcatius*, concretamente, es nativo de la isla de Cuba. Sin embargo, también se puede localizar poblaciones introducidas en la isla de La Española, Florida y Aruba, además de en Tenerife, donde se detecta por primera vez en 1995 al sur de la isla. No obstante, no es hasta 2007 que su presencia hace saltar las alarmas. Tanto es así que en el año 2021 se llegaron a capturar más de 1.500 ejemplares en diversas localidades de la isla, sobre todo en los focos establecidos: el campo de Golf Las Américas y Valle Guerra. Se trata de una especie que posee una morfología especial, la cual le permite habitar tanto en las alturas (troncos, ramas y hojas) como en el suelo (Losos, 2009), además presentan una gran capacidad para mimetizarse, un carácter enormemente territorial y una alta capacidad de reproducción; características que la convierten en una especie potencialmente invasora (Hernández-Ferrer *et al.*, 2023). De hecho, actualmente este género se incluye en la lista

de especies exóticas invasoras preocupantes para la región ultraperiférica de las Islas Canarias (Real Decreto 216/2019, de 29 de marzo, por el que se aprueba la lista de especies exóticas invasoras preocupantes para la región ultraperiférica de las islas Canarias y por el que se modifica el Real Decreto 630/2013, de 2 de agosto, por el que se regula el Catálogo español de especies exóticas invasoras). En cuanto a su dieta, es un reptil esencialmente insectívoro (hormigas, escarabajos, etc.) (de Armas, 2008, 2011; de Armas y Ramos-Hernández, 2014; Losos, 2009), pudiendo consumir también moluscos y anélidos (Losos, 2009). Asimismo, se ha documentado algunos episodios de canibalismo (de Armas, 2021; Socarrás *et al.*, 1988), así como el consumo de otro tipo de recursos como flores, néctar, polen, frutos, residuos domésticos y excrementos frescos de aves (Cajigas-Gandia *et al.*, 2008; De Armas y Iturriaga, 2008a; de la Cruz *et al.*, 2021; Okochi *et al.*, 2006; Socarrás *et al.*, 1988). Por todo ello, es evidente que se trata de un animal oportunista, cuya dieta varía en función de la disponibilidad de recursos. De esta manera, no se descarta que pueda estar incluyendo invertebrados nativos de Canarias, e incluso endémicos, como parte de su dieta, pudiendo incluso presentarse como una amenaza, ya sea en calidad de depredador o de competidor efectivo, para los reptiles más pequeños de Tenerife, como la lisa dorada (*Chalcides viridanus*) o el perenquén de Delalande (*Tarentola delalandii*).

1.2. Objetivos

Con base en lo anteriormente expuesto, el objetivo general de este trabajo es estudiar la ecología trófica de este reptil invasor en la isla de Tenerife a través de la determinación de su dieta. Para ello, se abordarán los siguientes objetivos específicos:

1. Determinar la dieta de *A. porcatius* en el enclave del campo de Golf Las Américas.
2. Definir cuantitativamente el carácter generalista o especialista de su dieta, tanto a nivel individual como en el conjunto de la población.
3. Evaluar si el nicho trófico pudiera estar determinado por el sexo, el tamaño de los individuos o la interacción de ambos factores.
4. Averiguar qué especies nativas (con especial interés en las endémicas) podrían estar siendo afectadas por el anolis en el área de estudio.

2. Material y métodos

Para conocer la dieta del anolis verde cubano en el enclave del campo de Golf Las Américas (Sur de Tenerife, 28N 330915 3105413) (Fig. 1) se procedió a diseccionar y analizar el contenido estomacal de 94 ejemplares de *A. porcatius*; todos ellos proporcionados por la empresa GESPLAN (Gestión y Planeamiento Territorial y Medioambiental, S.A.), que previamente los habían capturado como parte de los trabajos de control poblacional de esta especie en Tenerife entre los meses de septiembre de 2022 y marzo de 2023. Como método de conservación de las muestras, los ejemplares fueron congelados.

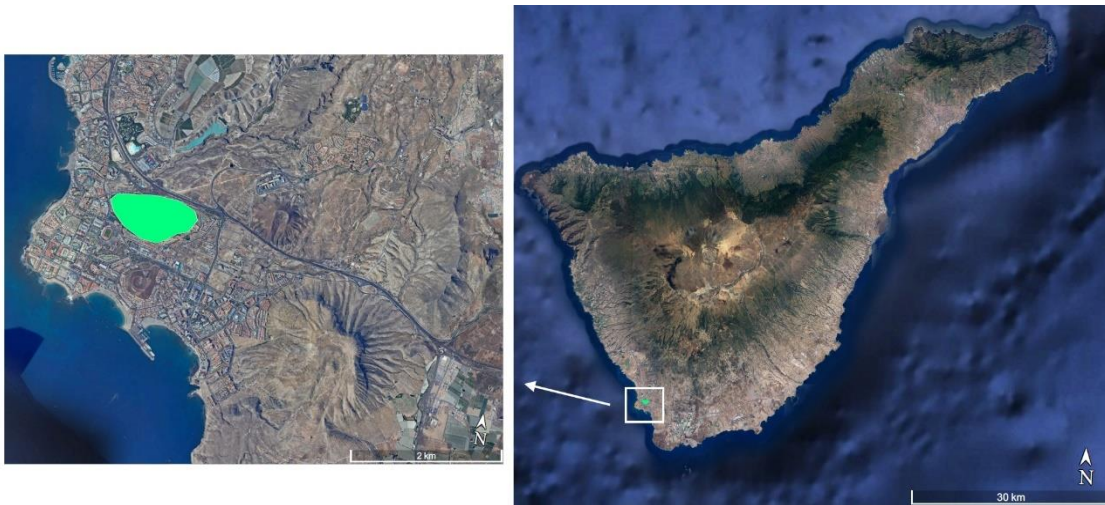


Fig. 1. Mapa de Tenerife (derecha); en verde se destaca el campo de Golf Las Américas.

2.1. Procesamiento de muestras

Tras descongelar a los ejemplares y previo a su disección, se tomaron una serie de medidas morfométricas: longitud, anchura y altura de la cabeza, y la longitud hocico-cloaca (en adelante, SVL por sus siglas en inglés “*Snout-Vent Length*”) (Fig. 2); adicionalmente se realizó un GLM (*General Linear Model*) para determinar si existen diferencias significativas en el tamaño entre hembras y machos. En cuanto al sexado, en el momento de la disección se inspeccionó la presencia de gónadas o huevos en maduración; aquellos individuos inmaduros en los que no se pudo apreciar bien los órganos reproductores, se consideró el sexo como “indeterminado”.



Fig. 2. Toma de medidas morfométricas: longitud (A), anchura (B) y altura (C) de cabeza, y longitud hocico-cloaca (D).

2.2. Análisis estomacal

Siguiendo una metodología similar a la propuesta por Lenart *et al.* (1997) el contenido estomacal e intestinal fue examinado con ayuda de una lupa binocular. En las muestras, se ha intentado identificar, con la mayor precisión taxonómica posible, a las distintas especies (vegetales y animales) consumidas por esta especie. Para ello, los restos encontrados en las diferentes muestras fueron comparados con material existente en colecciones de referencia del Departamento de Biología Animal, Edafología y Geología de la Universidad de La Laguna. Para la identificación de las presas se prestó atención a características distintivas, como morfología y caracteres de la cabeza, patas y alas. A excepción de algunos restos de los que se pudo identificar la familia (muy excepcionalmente alguna especie), el máximo rango taxonómico al que se pudo llegar en la mayoría de las presas fue el orden, debido al alto grado de digestión que presentaban.

2.3. Análisis estadístico

2.3.1. Determinación de la dieta

Una vez identificadas las presas, éstas fueron contabilizadas (teniendo en cuenta el número mínimo de individuos representados), de manera que se pudo obtener la media de presas de cada taxon en los distintos tubos digestivos, así como su frecuencia de aparición. Por frecuencia de aparición (FA) debe entenderse el porcentaje de tubos digestivos analizados en los que un determinado tipo de presa fue detectado. Para cada tubo digestivo analizado, el número de presas fue establecido en función del número de restos identificados. Por ejemplo, si se detectaron dos cabezas de himenópteros y sólo cuatro alas, se consideró que el número de himenópteros en la muestra era de 2 (ya que cada himenóptero cuenta con cuatro alas). En los casos en que el contenido estomacal era muy escaso o estaba excesivamente deteriorado por efecto de la digestión, se procedió a anotar la presencia de restos de presas en el estómago sin poder precisar su categoría taxonómica, dejándolo registrado como taxon indeterminado.

2.3.2. Adecuación del tamaño muestral

Simultáneamente, para evaluar si el tamaño muestral de 94 ejemplares proporcionaba una idea representativa de la dieta de *A. porcatius* en la localidad estudiada, se realizó un análisis en el que se evaluó el número de órdenes de artrópodos nuevos que iban apareciendo a medida que se incrementaba el número de muestras analizadas hasta el máximo de 94. Dado que la tasa de aparición de nuevos taxones puede variar bruscamente dependiendo del orden en que se analice cada muestra, se realizaron 1000 aleatorizaciones sin reemplazamiento del conjunto original de los 94 individuos. En cada iteración, el orden de entrada de las muestras cambia de forma aleatoria. Esta técnica permite suavizar la curva de acumulación de taxones frente al número de muestras analizadas y poder ajustar así un modelo no lineal para describir cómo el número de órdenes de artrópodos aumentaba a medida que se incrementaba el esfuerzo de muestreo (número de tubos digestivos analizados) según la ecuación de Clench:

$$(1) T = \frac{ax}{(1+bx)},$$

en la que T representa el número de taxones encontrados y x es el número de tubos digestivos analizados. Al ajustar esta ecuación a los datos, se pudo estimar la pendiente de esa curva en el punto de máximo esfuerzo de muestreo. Según Hortal y Lobo (2005),

se puede considerar que el muestreo habría sido lo suficientemente robusto si en el punto de máximo esfuerzo de muestreo la pendiente de la curva es igual o inferior a 0,1 indicando que el número de nuevos taxones encontrados va a aumentar muy poco por mucho que se incremente el número de tubos digestivos analizados. Estos cálculos fueron realizados con el paquete “*vegan*” (Oksanen *et al.*, 2022) para R (R Development Core Team, 2023).

2.3.3. Amplitud del nicho trófico

Para tener una idea del carácter generalista o especialista de la especie, se calculó en Excel el índice de Levins sobre amplitud de nicho trófico (Krebs, 2014) tanto para cada individuo de forma aislada como para el conjunto de la muestra. Este índice, de forma análoga al índice de diversidad de Shannon, mide no sólo el número de presas presentes en la dieta, sino también la uniformidad en la representación de dichas presas, según la ecuación:

$$(2) B' = \frac{1}{\sum p_j^2},$$

donde p_j es la proporción de presas del taxon “ j ” con respecto al total de presas encontradas. Así, cuanto mayor sea el número de presas y mayor la uniformidad de estas, mayor será el valor del índice. Para mejorar la comprensión del resultado y poder compararlo con otros estudios, se calculó también el índice de Levins estandarizado cuyo valor está comprendido entre 0 y 1; cuanto más cercano a 0, indicará que la especie es especialista, mientras que cuanto más cercano a 1, indicará que la especie es más generalista. Para ello, se utilizó la ecuación:

$$(3) B_s = \frac{B' - 1}{n - 1},$$

donde B' es el índice de Levins calculado según la ecuación (1) y n es el número total de taxones identificados.

2.3.4. Variación del nicho trófico según el sexo y/o la longitud hocico-cloaca

Asimismo, se quiso comprobar si el nicho trófico de los individuos de anolis examinados pudiera estar influenciado por el sexo, la SVL o bien la interacción de ambas variables. Para dilucidar esta cuestión se realizó un análisis estadístico mediante un GLM (*Generalized Linear Model*) en el que se comprobó si la amplitud de nicho estandarizada o B_s (variable respuesta) variaba significativamente según el sexo o la SVL del ejemplar

(variables predictoras). Para saber el nivel de significación de las variables “sexo” y “SVL”, así como de la interacción entre ambas se utilizó la función “Anova” del paquete “car” (Fox y Weisberg, 2019) para R (R Development Core Team, 2023).

Debido a que no se pudo sexar ni medir a todos los individuos, se realizaron tres GLM, cada uno de ellos con su propio set de datos. De esta manera, se consigue maximizar en lo posible el tamaño muestral. Para ver el efecto del sexo sobre la amplitud de nicho se usaron solamente los individuos que pudieron ser sexados ($n = 65$); para determinar el efecto del tamaño del animal sobre la amplitud de nicho, solamente aquellos que pudieron ser medidos ($n = 73$); para ver el efecto de ambas variables y su interacción sobre la amplitud de nicho, se usaron aquellos que pudieron ser tanto sexados como medidos ($n = 54$).

2.4. Estimación de las especies potencialmente afectadas por anolis

Para conocer qué especies podrían verse afectadas por estos reptiles introducidos, se elaboró un listado con las especies presentes en el ámbito del campo de golf de Las Américas ([véase Anexo I](#)). Para ello, se utilizó la información disponible en el Banco de Datos de Biodiversidad de Canarias. Se seleccionaron las cuadrículas de $500\text{m} \times 500\text{m}$ en las que se incluye el campo de golf de Las Américas, sumando un total de siete celdas. Acto seguido, para esas cuadrículas se descargó el listado de especies. Según (Losos, 2009), los lagartos del género *Anolis* suelen consumir, además de artrópodos, moluscos y anélidos. Por ello, en el Banco de Datos de Biodiversidad de Canarias con la herramienta *Checklist* se buscaron, para el conjunto de cuadrículas, las especies pertenecientes a esos tres filos.

3. Resultados

Los machos presentaron dimensiones significativamente mayores que las hembras (Tabla 1), tanto en la SVL ($\chi^2 = 63,39$; $g. l. = 1$; $P < 0,01$; Fig. 3) como en la anchura de la cabeza ($\chi^2 = 120,56$; $g. l. = 1$; $P < 0,01$; Fig. 4), la longitud ($\chi^2 = 106,46$; $g. l. = 1$; $P < 0,01$; Fig. 5) y la altura de la misma ($\chi^2 = 92,1$; $g. l. = 1$; $P < 0,01$; Fig. 6).

Tabla 1. Valores promedios \pm desviación típica (rango) de la longitud hocico-cloaca (SVL), anchura de la cabeza (AC), largo de la cabeza (LC) y altura de la cabeza (ALTC).

	SVL (mm)	AC (mm)	LC (mm)	ALTC (mm)
Todos los ejemplares (<i>n</i> = 76)	60,1 \pm 12,6 (34 – 84)	9,2 \pm 2,2 (5,2 – 13,6)	18,7 \pm 4,3 (10,9 – 26,6)	6,4 \pm 1,8 (3,2 – 10,1)
Hembras (<i>n</i> = 29)	57,19 \pm 4,49 (41 – 63)	8,08 \pm 0,76 (6,27 – 9,31)	16,79 \pm 1,42 (11,82 – 18,91)	5,38 \pm 0,70 (4,1 – 6,98)
Machos (<i>n</i> = 27)	71,48 \pm 8,47 (39 – 84)	11,3 \pm 1,37 (6,54 – 12,92)	22,75 \pm 2,74 (12,07 – 26,03)	8,07 \pm 1,32 (3,66 – 10,09)

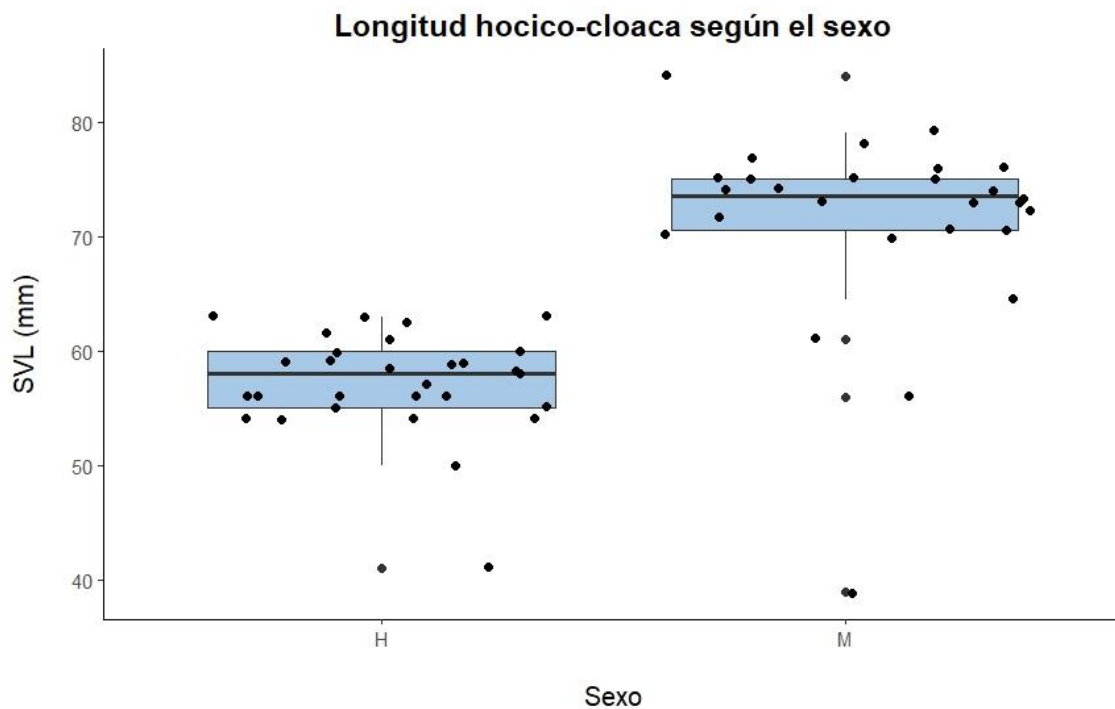


Fig. 3. Longitud hocico-cloaca según el sexo (H = hembras; M = machos). El primer cuartil corresponde con el borde inferior de la caja, el segundo cuartil (o mediana) con la línea horizontal que atraviesa la caja, y el tercer cuartil con el borde superior; las líneas verticales representan el rango intercuartílico multiplicado por 1,5.

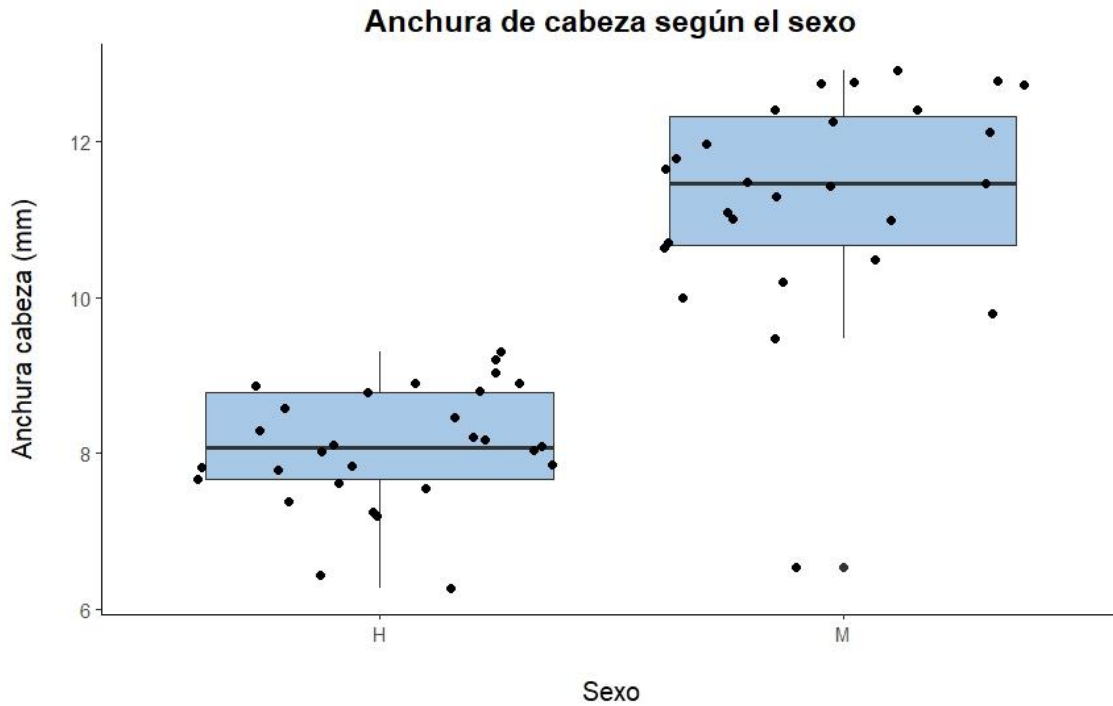


Fig. 4. Anchura de cabeza según el sexo (H = hembras; M = machos). El primer cuartil corresponde con el borde inferior de la caja, el segundo cuartil (o mediana) con la línea horizontal que atraviesa la caja, y el tercer cuartil con el borde superior; las líneas verticales representan el rango intercuartílico multiplicado por 1,5.

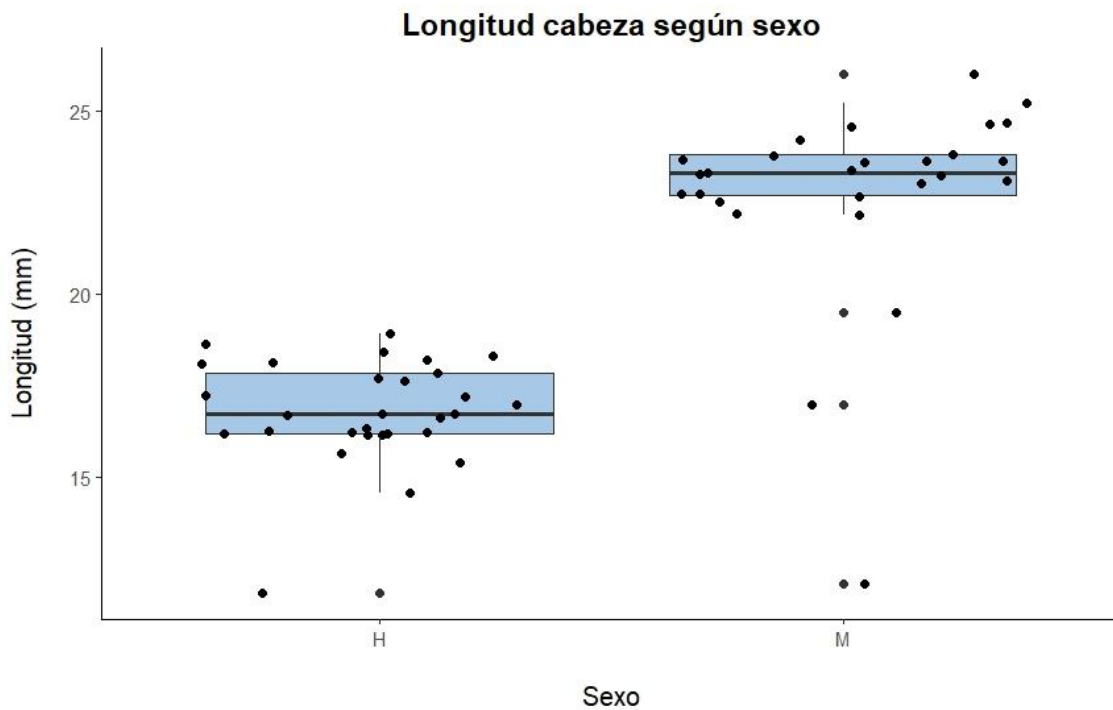


Fig. 5. Longitud de cabeza según el sexo (H = hembras; M = machos). El primer cuartil corresponde con el borde inferior de la caja, el segundo cuartil (o mediana) con la línea horizontal que atraviesa la caja, y el tercer cuartil con el borde superior; las líneas verticales representan el rango intercuartílico multiplicado por 1,5.

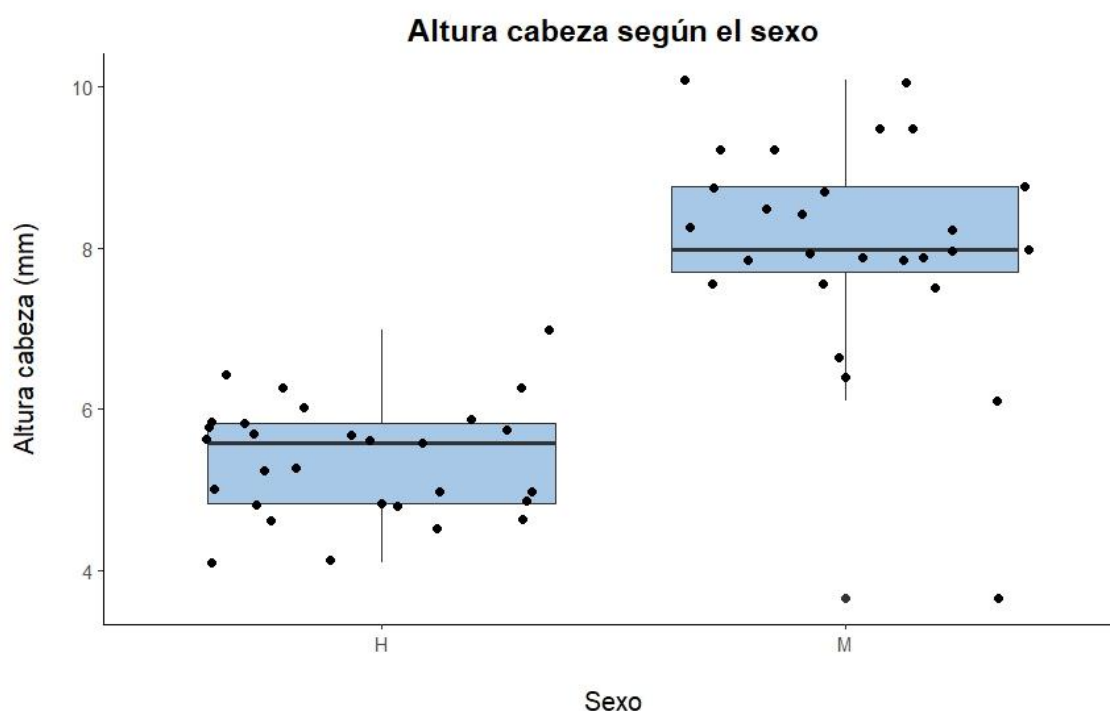


Fig. 6. Altura de la cabeza según el sexo (H = hembras; M = machos). El primer cuartil corresponde con el borde inferior de la caja, el segundo cuartil (o mediana) con la línea horizontal que atraviesa la caja, y el tercer cuartil con el borde superior; las líneas verticales representan el rango intercuartílico multiplicado por 1,5.

En esta memoria se incluye material suplementario (véase [Anexo II](#)) con los distintos datos morfométricos, identificación y de contenido estomacal recogidos de cada uno de los individuos de *A. porcatius*.

3.1. Determinación de la dieta

En total fueron encontradas 441 presas correspondientes a 11 órdenes de invertebrados (Tabla 2). El 87,2% de los tubos digestivos analizados contenía alguna presa. Además, fueron encontradas 7 semillas correspondientes a una especie vegetal indeterminada. Los resultados de este estudio muestran que la dieta de *A. porcatius* en el enclave del campo de golf es eminentemente insectívora, encontrándose además restos de arañas y moluscos.

Tabla 2. Restos de animales encontrados en los tubos digestivos de *A. porcatus* ($n=94$) capturados en el campo de Golf Las Américas. Se muestra la frecuencia de aparición (FA) de cada tipo de presas, así como el número medio (\bar{X}) y desviación típica (dt) de las mismas encontradas en cada tubo digestivo analizado.

Orden	Familia	FA (%)	Nº de presas ($\bar{X} \pm dt$)
Araneae		25,53	0,46 \pm 1,18
	Dysderidae	1,06	0,04 \pm 0,41
Blattaria		11,70	0,12 \pm 0,32
Coleoptera		17,02	0,25 \pm 0,6
	Curculionidae	4,26	0,05 \pm 0,27
Diptera		45,74	1,51 \pm 2,93
	Sarcophagidae	1,06	0,02 \pm 0,21
	Syrphidae	1,06	0,01 \pm 0,1
	Tachinidae	1,06	0,02 \pm 0,21
Hemiptera		14,89	0,16 \pm 0,4
	Reduviidae	1,06	0,01 \pm 0,1
Hymenoptera		56,38	1,8 \pm 3,05
	Braconidae	6,38	0,11 \pm 0,45
	Chrysididae	2,13	0,02 \pm 0,15
	Crabronidae	1,06	0,03 \pm 0,31
	Formicidae	24,47	0,71 \pm 1,93
	Halictidae	1,06	0,01 \pm 0,1
	Vespidae	4,26	0,05 \pm 0,27
Lepidoptera		20,21	0,22 \pm 0,47
Planipennia		6,38	0,06 \pm 0,25
Orthoptera		6,38	0,06 \pm 0,25
	Acrididae	1,06	0,01 \pm 0,1
Psocoptera		1,06	0,01 \pm 0,1
Stylommatophora		0,11	0,11
Orden indeterminado		21,28	0,3 \pm 0,64
Semilla indeterminada		7,45	0,07 \pm 0,26

El orden Hymenoptera fue el que apareció con mayor frecuencia (56,38%) y representado por un mayor número de individuos en los tubos digestivos analizados. Además, fue el orden del que se pudo identificar un mayor número de presas a nivel de familia (Braconidae, Crabronidae, Chrysididae, Formicidae, Halictidae y Vespidae). Los dípteros constituyeron el siguiente orden con mayor FA (45,74%), así como del que se pudo identificar mayor cantidad de presas pertenecientes a diversas familias (Sarcophagidae, Tachinidae y Syrphidae). Por su parte, el orden Stylommatophora, correspondiente a los gasterópodos terrestres, fue el que apareció con menor frecuencia (0,11%) (Tabla 2).

En lo que se refiere a la posibilidad de profundizar en el nivel taxonómico de las presas más allá del orden, cabe destacar que, en el caso de las arañas, se pudo identificar un ejemplar de *Dysdera* sp., mientras que entre los himenópteros es destacable la presencia del endemismo canario *Lasioglossum loetum* (Halictidae) (1 ejemplar), además de la avispa común, *Polistes dominula* (Vespidae) (1 ejemplar). Por otra parte, entre las hormigas, han aparecido especímenes que podrían corresponder a especies introducidas, pero su identidad no ha podido ser confirmada de momento. Otras presas identificadas fueron la especie nativa *Eristalinus taeniops* (Syrphidae) (1 ejemplar); el himenóptero *Philanthus triangulum* (Crabronidae) (1 ejemplar) clasificado como “Nativo Probable”; *Sitophilus* sp. (Curculionidae) (1 ejemplar), cuyas especies existentes en las islas están clasificadas como “Introducido Seguro Potencialmente Invasor”; y el hemíptero *Leptoglossus gonagra* (1 ejemplar), probablemente introducido. Las categorías de los distintos individuos identificados han sido extraídas del Banco de Datos de Biodiversidad de Canarias.

3.2. Adecuación del tamaño muestral

El análisis de aparición de nuevos tipos de presa frente al número de tubos digestivos analizados (Fig. 7) mostró que el conjunto de artrópodos identificados a nivel de orden y las semillas encontradas constituye una muestra representativa de la dieta de este reptil. De hecho, la pendiente de la curva en el punto máximo de esfuerzo de muestreo ($n = 94$) fue de 0,007; inferior al 0,1 propuesto por Hortal y Lobo (2005) como límite máximo para considerar que un muestreo es representativo de los taxones presentes en una comunidad o, en este caso, en la dieta de *A. porcatus*.

Curva de Acumulación de Taxones

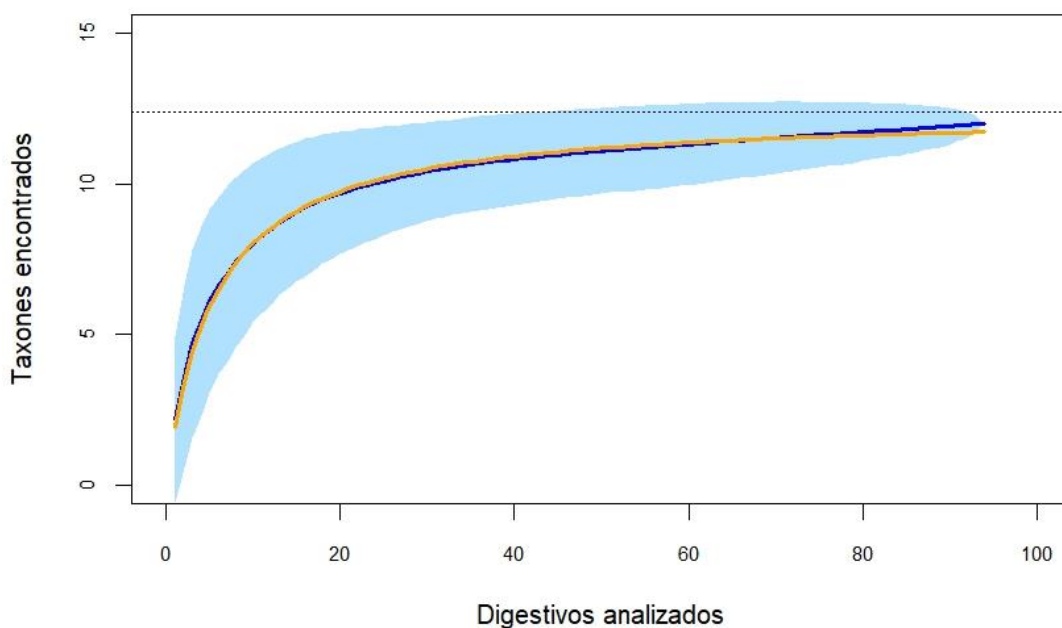


Fig. 7. Curva de acumulación de taxones (órdenes de artrópodos y semillas) identificados a medida que aumenta el número de tubos digestivos analizados. La línea azul y el sombreado celeste representan el promedio y la desviación típica, respectivamente, para las 1000 iteraciones. La línea naranja representa el modelo ajustado a los datos, según la ecuación de Clench. La línea de puntos horizontal es el valor asintótico de la función ($y = 12,39$), es decir, el número máximo de órdenes de artrópodos que se esperaría encontrar en la dieta de *A. porcatus* en el entorno del campo de Golf Las Américas.

3.3. Amplitud del nicho trófico.

En cuanto a la amplitud del nicho trófico de cada ejemplar, se observó que el promedio (\pm d.t.) del índice de Levins (B') por individuo fue de 2,08 (\pm 1,06) y el estandarizado (B_S) fue de 0,11 (\pm 0,11). Por su parte, para el total de individuos analizados B' fue 4,21 y B_S fue 0,32. Además, para los individuos cuyo sexo y amplitud de nicho pudieron ser determinados ($n = 65$), se observó que tanto hembras ($n = 38$) como machos ($n = 27$) presentaban amplitudes de nicho similares: $B' = 1,92 (\pm 0,93)$ y $B_S = 0,09 (\pm 0,09)$ para hembras; y $B' = 2,37 (\pm 1,15)$ y $B_S = 0,14 (\pm 0,12)$ para machos.

3.4. Variación del nicho trófico según el sexo y/o la longitud hocico-cloaca

A pesar de las ligeras diferencias encontradas entre hembras y machos, los resultados del GLM, demuestran que la amplitud de nicho estandarizado no es explicada significativamente por la variable "sexo" ($\chi^2 = 3,11$; g. l. = 1; $P = 0,08$; Fig. 8), la variable

“SVL” ($\chi^2 = 1,12$; g. l. = 1; $P = 0,29$; Fig. 9) ni por la interacción entre ambas variables ($\chi^2 = 0,001$; g. l. = 1; $P = 0,97$; Fig. 10).

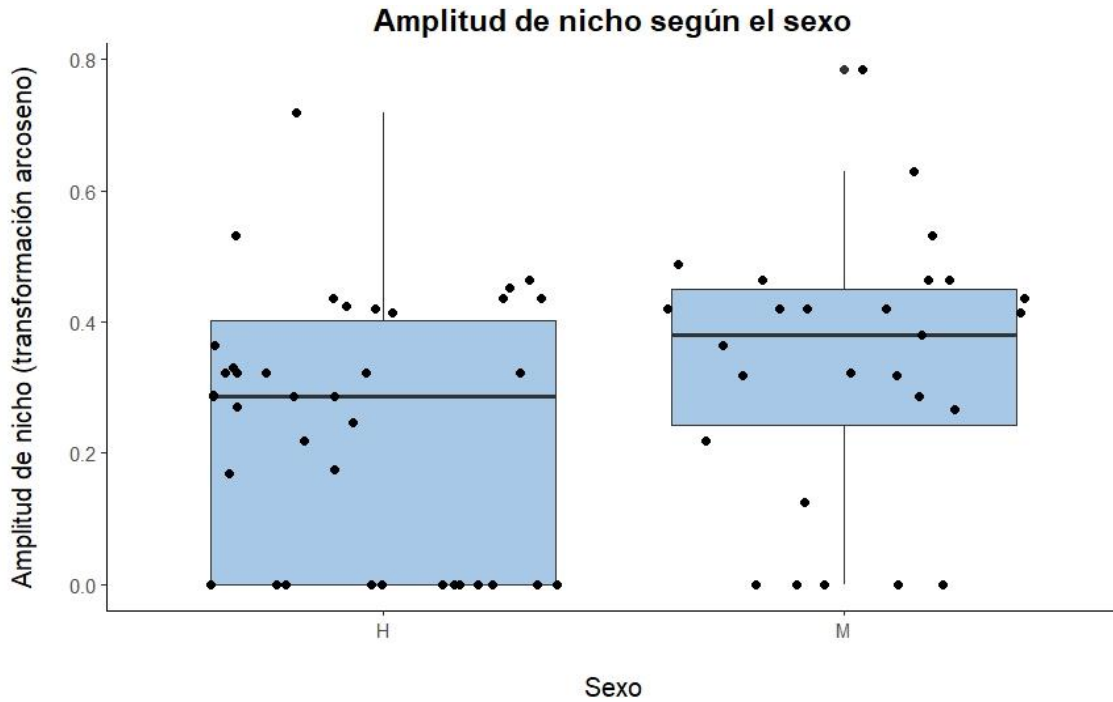


Fig. 8. Amplitud de nicho estandarizado en función del sexo (H = hembras; M = machos). El primer cuartil corresponde con el borde inferior de la caja, el segundo cuartil (o mediana) con la línea horizontal que atraviesa la caja, y el tercer cuartil con el borde superior; las líneas verticales representan el rango intercuartílico multiplicado por 1,5. En el eje Y se representa el arcoseno de la raíz cuadrada del valor de amplitud de nicho estandarizado (Bs).

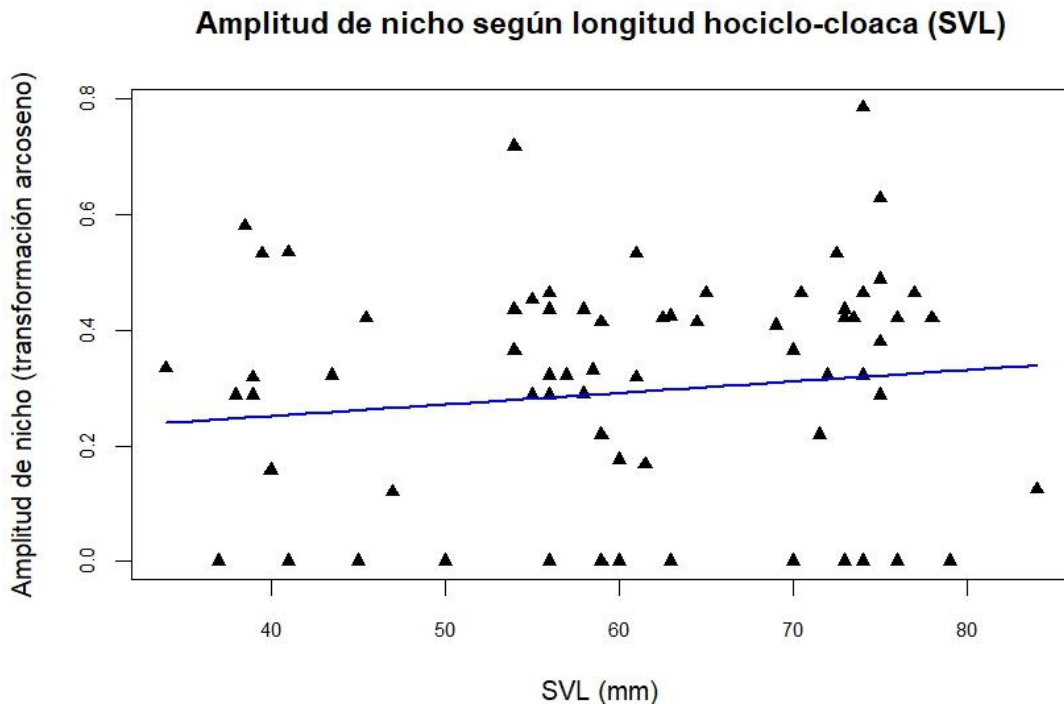


Fig. 9. Amplitud de nicho estandarizado en función de la longitud hociclo-cloaca (SVL). Los triángulos representan a cada uno de los individuos analizados; la recta azul corresponde con la línea de regresión para los datos. En el eje Y se representa el arcoseno de la raíz cuadrada del valor de amplitud de nicho estandarizado (Bs).

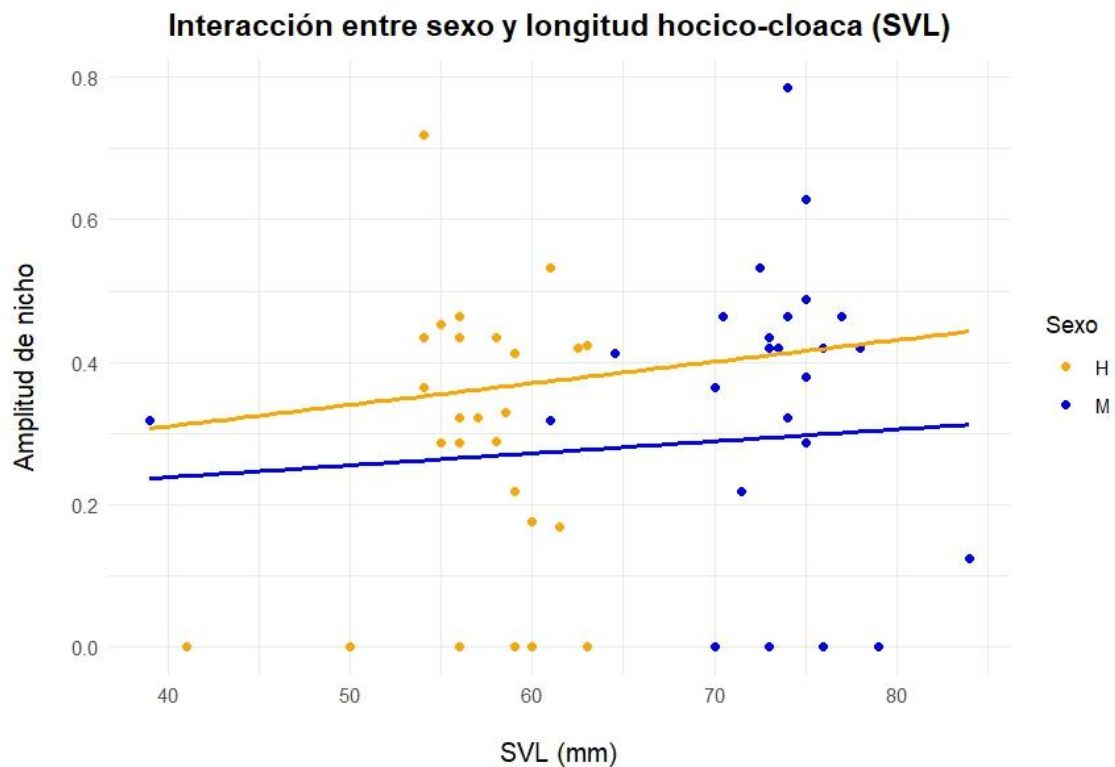


Fig. 10. Amplitud de nicho estandarizado teniendo en cuenta la interacción entre sexo y longitud hocico-cloaca (SVL). Los puntos naranjas corresponden a la SVL de las hembras y los azules a la de los machos; las rectas corresponden a la línea de regresión para cada uno de los conjuntos de datos.

3.5. Estimación de especies potencialmente afectadas por anolis.

Una forma de saber el potencial daño que un depredador introducido podría causar sobre la fauna local es mediante la comparación de la amplitud de su nicho trófico en el lugar de introducción, con dicha amplitud en su rango de distribución nativa. A pesar de la existencia de algunas publicaciones que registran algunos aspectos de la dieta de *A. porcatius*, ninguno ha evaluado la amplitud del nicho trófico. Por tanto, para tratar de estimar la potencial afección sobre la fauna nativa, se justifica la utilización de listados de especies como el que se muestra en el [Anexo I](#).

En cuanto a las 71 especies listadas en el [Anexo I](#), cabe destacar que 23 (32,39%) de ellas son endémicas del archipiélago canario, existiendo además dos subespecies endémicas. Por lo tanto, no es descartable que *A. porcatius* pudiera estar incluyendo algunos de estos endemismos en su dieta. De hecho, conviene señalar que se detectó la presencia del himenóptero *Lasioglossum loetum*, un endemismo canario, en al menos uno de los tubos digestivos analizados. Por otro lado, la zona de estudio forma parte del área de distribución de otro himenóptero endémico, *Chrysis canaria*, hecho llamativo si se tiene en cuenta que se ha podido constatar el consumo de crisídidos por parte de *A.*

porcatus. También cabe destacar que en el listado no se incluye ningún molusco, a pesar de haberse encontrado una rádula de gasterópodo terrestre en uno de los tractos digestivos.

4. Discusión

Los resultados muestran que la población de anolis situada en el enclave del campo de Golf Las Américas consumen un alto número de invertebrados pertenecientes a múltiples órdenes, tal y como expone Losos (2009). Sin embargo, el valor de B_S es 0,32, lo que indica que la población mantiene un nicho trófico de amplitud con cierto grado de especialización. Es posible que este valor relativamente bajo se deba a la dominancia de himenópteros y dípteros entre las presas, lo cual pudiera estar determinado por que las propias condiciones alteradas del campo del golf estén propiciando su presencia en el entorno, viéndose reflejado en la dieta de los reptiles. Lamentablemente, este hecho no pudo ser constatado, ya que no ha sido posible realizar un estudio exhaustivo de la disponibilidad de presas.

A pesar de que existen varios estudios sobre la dieta de diferentes especies del género *Anolis* (p. ej., Hernández-Salinas *et al.*, 2016; Huyghe *et al.*, 2007; Losos *et al.*, 1991) e incluso publicaciones que han evaluado su nicho trófico (p. ej., García-Padrón *et al.*, 2021; Lenart *et al.*, 1997; Pinilla-Rentería *et al.*, 2014), Ninguno de ellos ha sido realizado con *A. porcatus*, habiendo únicamente notas y observaciones referidas a su dieta (p. ej., de Armas, 2008, 2011, 2022; de Armas y Iturriaga, 2008; de Armas y Ramos-Hernández, 2014). De esta manera, el presente trabajo ofrece datos preliminares de la ecología trófica de esta especie fuera de su rango de distribución natural.

De igual manera, tampoco existe información disponible acerca de las diferencias de dieta entre individuos de distinto sexo o tamaño en el hábitat de origen de *A. porcatus*, hecho ya observado en otras especies de reptiles (p. ej., Brecko *et al.*, 1993; Valido y Nogales, 2003; Verwajen *et al.*, 2002), incluyendo *A. carolinensis* (Herrel *et al.*, 2007), una especie genéticamente muy emparentada con *A. porcatus* (Hernández-Ferrer *et al.*, 2023). De hecho, el estudio de Herrel *et al.* (2007) asocia las diferencias de las dietas entre machos y hembras con la morfología del cráneo y la musculatura mandibular. Según dicho estudio, los machos tienen una mayor potencia mandibular, pudiendo consumir presas más duras como homópteros (Hemiptera) y coleópteros, mientras que, en el caso

de las hembras, aunque presentan menor fuerza en la mordida que los machos, su sistema mandibular podría estar optimizado hacia movimientos rápidos, permitiéndoles especializarse en presas evasivas como los dípteros (Herrel *et al.*, 2007). Paralelamente, el presente trabajo y el mencionado anteriormente, coinciden en lo que a tamaño se refiere: los machos son significativamente mayores que las hembras. Sin embargo, en este caso, los resultados no se asocian a amplitudes de nicho diferentes. Asimismo, cabe destacar que los resultados obtenidos señalan la existencia de diferencias significativas en las distintas medidas morfométricas entre hembras y machos, por lo tanto, no se descarta que los resultados obtenidos en el presente trabajo dependan en gran medida de las características del entorno que actualmente ocupa esta especie en el sur de Tenerife. El área de estudio es un recinto limitado y dominado por una vegetación ajardinada donde se localizan tanto plantas introducidas como nativas, lo que sin duda condiciona la diversidad y disponibilidad de recursos tróficos. Asimismo, es posible que los resultados estén influenciados por el índice utilizado, ya que el índice de Levins se trata de un estadístico meramente cuantitativo, es decir, podría ocurrir que cada sexo explote distintos recursos, pero si estos son consumidos en la misma proporción, el valor resultante sería similar para hembras y machos.

Como ya se comentó anteriormente, los recursos tróficos que explota *A. porcatus* en el lugar de estudio ocupan un amplio rango taxonómico (gasterópodos, artrópodos y frutos), lo que podría ser objeto de competencia con los reptiles autóctonos de la isla: la lisa (*Chalcides viridanus*) y el perenquén (*Tarentola delalandii*), esencialmente insectívoros (Báez, 1998; Báez *et al.*, 1998); y el lagarto (*Gallotia galloti*), un reptil con hábitos omnívoros, con un elevado aporte de invertebrados en su dieta en el caso de ejemplares juveniles (Rodríguez *et al.*, 2008). No obstante, en cuanto a las semillas encontradas ($n = 7$), no se descarta que pudiera ser una ingestión accidental, aun cuando se ha documentado a esta especie explotando recursos vegetales en su rango de distribución natural (Cajigas-Gandia *et al.*, 2008), ya que solo se ha constatado su presencia en 7 tubos digestivos de los 94 analizados y además existen otros alimentos de su preferencia en la zona. Por otro lado, se han documentado varios episodios de canibalismo por parte de individuos del género *Anolis*, entre ellos, *A. cristatellus* (Ríos-López *et al.*, 2015) y *A. porcatus* (de Armas, 2021; Socarrás *et al.*, 1988), lo que apunta hacia la posibilidad de que pudieran existir casos de depredación por parte de los anolis cubanos verdes sobre los reptiles autóctonos, especialmente sobre los ejemplares

juveniles de lagarto y lisa, cuyo tamaño de los recién nacidos puede alcanzar los 37,3 mm y los 40 mm, respectivamente (Bannert, 1998). En el caso de los perenquenes, incluso los adultos podrían ser presas de los anolis debido a su pequeño tamaño (73 mm en machos y 63,5 mm en hembras) (Joger, 1984), además, son animales que presentan hábitos trepadores, pudiendo facilitar encuentros desafortunados con *A. porcatus*.

Debido al alto grado de fragmentación del contenido estomacal, hubo bastantes presas que no pudieron ser identificadas. no obstante, que una presa no se identifique no significa que no pueda ser consumida. En este sentido, si se combina el amplio rango de órdenes que puede consumir con el hecho de que el 32% de las especies listadas por Biota para el campo de golf sean endémicas, apunta a una alta posibilidad de que el número de especies endémicas consumidas sea mayor que el detectado. De hecho, entre las especies que se lograron identificar como presas de anolis destaca *Lasioglossum loetum*, un himenóptero endémico de amplia distribución en el archipiélago canario. Asimismo, se encontraron restos de una araña del género *Dysdera*, un grupo de gran importancia en las islas debido a su elevado número de especies endémicas. No obstante, tratándose de una zona tan antropizada como es un campo de golf, no se descarta que pudiera tratarse de *D. crocata*, una especie introducida invasora (Macías-Hernández *et al.*, 2016).

Son pocos los estudios realizados que hablan, o al menos mencionan, el impacto causado por reptiles del género *Anolis* en lugares invadidos. Por ejemplo, se sabe que *A. sagrei* es introducido en las islas Bahamas y que su presencia “ha arrasado poblaciones de arañas e insectos, teniendo efectos de gran alcance en las redes alimentarias de los niveles tróficos inferiores” (Campbell y Echternacht, 2003). Asimismo, aunque no ha sido comprobado, se sospecha que *A. carolinensis* es el responsable del declive de insectos endémicos debido a su alta densidad poblacional en las islas Ogasawara (Okochi *et al.*, 2006). Por todo ello, la posible expansión de *A. porcatus* fuera de los focos principales (Valle de Guerra y campo de Golf Las Américas) debería ser una preocupación relevante, ya que, aunque no existe un estudio que evalúe explícitamente los efectos de esta especie sobre la biodiversidad de Canarias, los datos sobre los impactos de especies de este género introducidas en otros lugares (Campbell y Echternacht, 2003; Okochi *et al.*, 2006), así como los datos obtenidos en el presente trabajo indican que podría depredar sobre un amplio rango de invertebrados endémicos y ser además una amenaza para las especies autóctonas de reptiles de la isla.

Por otro lado, *A. porcatius* no solo es un gran candidato como competidor y depredador de los reptiles endémicos de Tenerife, sino también como vector de patógenos. Un estudio llevado a cabo por Abreu-Acosta *et al.* (2023), determina la presencia en sus heces de bacterias como *Pseudomonas spp.*, *Escherichia coli*, *Campylobacter jejuni* y *C. fetus*, entre otras, lo que indica que el anolis verde cubano podría estar jugando un papel esencial en el mantenimiento y propagación de patógenos, siendo un posible factor de riesgo para la salud pública y la conservación de la biodiversidad canaria.

Con el presente estudio se ha podido constatar que, aun considerando un área limitada, como es el campo de Golf Las Américas, y a pesar de su ecología trófica, aparentemente especialista (recuérdese la dominancia de himenópteros y dípteros en las muestras analizadas), este reptil consume una gran variedad de taxones, permitiéndole así explotar un gran abanico de recursos. Asimismo, el estudio de Hernández-Ferrer *et al.* (2023) concluye que las poblaciones de *A. porcatius* asentadas en Tenerife, presentan una alta variabilidad genética, lo que conlleva un elevado riesgo de expansión y establecimiento como especie exótica invasora en nuevas zonas de la isla. Si se tiene en cuenta su posible papel como vector de patógenos, así como sus antecedentes en otros lugares fuera de su rango de distribución natural, la biodiversidad tinerfeña está ante una amenaza inminente que podría traer consigo consecuencias graves para la fauna autóctona y el equilibrio natural de los ecosistemas.

5. Conclusiones

1. La población de *A. porcatius* en el campo de Golf Las Américas consume un elevado número de invertebrados (al menos 441 ejemplares en 94 tubos digestivos) pertenecientes a un amplio abanico de órdenes ($n = 11$), lo que demuestra su capacidad de adaptación a los recursos tróficos disponibles en zonas ajardinadas fuera de su rango de distribución nativo.
2. La amplitud de nicho indica que esta población tiene un carácter más bien especialista, posiblemente debido a la dominancia de himenópteros y dípteros en su dieta. No obstante, este resultado podría estar condicionado por las características del entorno, ya que se trata de un recinto ajardinado con vegetación tanto introducida como nativa que claramente determina los recursos tróficos disponibles.

3. Los datos obtenidos indican que la amplitud de nicho no se ve afectada por las variables sexo, longitud hocico-cloaca o la interacción entre ambas.
4. Los resultados de este trabajo, así como la información disponible sobre lugares invadidos por especies de este género, indican que *A. porcatius* es una especie con un gran potencial invasor cuya expansión, ya sea en la propia isla de Tenerife o el resto del archipiélago, podría traer consigo graves consecuencias para la biodiversidad de Canarias.

6. *Conclusions*

1. The population of *A. porcatius* at Las Americas Golf Course consumes a high number of invertebrates (at least 441 specimens in 94 digestive tracts) belonging to a wide range of orders ($n = 11$), which demonstrates its ability to adapt to the trophic resources available in landscaped areas outside its native range.
2. The niche breadth indicates that this population has a rather specialist character, possibly due to the dominance of hymenopterans and dipterans in its diet. However, this result could be conditioned by environmental characteristics, since it is a landscaped enclosure with both introduced and native vegetation that clearly determines the trophic resources available.
3. The data obtained indicate that niche breadth is not affected by the variables sex, snout-vent length or the interaction between the two of them.
4. The results of this work, as well as the available information from sites invaded by species of this genus, indicate that *A. porcatius* is a species with a great invasive potential whose expansion, either on the island of Tenerife itself or in the rest of the archipelago, could have serious consequences for the biodiversity of the Canary Islands.

7. Bibliografía

- Abreu-Acosta, N., Pino-Vera, R., Izquierdo-Rodríguez, E., Afonso, O. y Foronda, P. (2023). Zoonotic Bacteria in *Anolis* sp., an Invasive Species Introduced to the Canary Islands (Spain). *Animals*, 13. <https://doi.org/10.3390/ani13030414>
- Báez, M. (1998). *Chalcides viridanus* (Gravenhorst, 1851) – Kanarenskink. En W. Bischoff (Ed.), *Die Reptilien der Kanarischen Inseln, der Selvagens-Inseln und des Madeira-Archipels*. (pp. 215-227).
- Báez, M., Hielen, B. y Rykena, S. (1998). *Tarentola dalalandii* (Duméril y Bibron, 1836) – Kanarengoeko. En *Die Reptilien der Kanarischen Inseln, der Selvagens-Inseln und des Madeira-Archipels*. (Bischoff, W., pp. 161-175).
- Banco de Datos de Biodiversidad de Canarias (2024) <http://www.biodiversidadcanarias.es/biota> [23/06/2024]
- Bannert, B. (1998). Zur Fortpflanzungsbiologie der Halsbandeidechsen von Madeira und den Kanarischen Inseln in Gefangenschaft. *Salamandra*, 34, 289-300.
- Barrientos, R., Valera, F., Barbosa, A., Carrillo, C. M. y Moreno, E. (2009). Plasticity of nest-site selection in the trumpeter finch: A comparison between two different habitats. *Acta Oecologica*, 35, 499-506. <https://doi.org/10.1016/j.actao.2009.03.005>
- Brecko, J., Huyghe, K., Vanhooydonck, B., Herrel, A., Grbac, I. y Van Damme, R. (1993). Functional and ecological relevance of intraspecific variation in body size and shape in the lizard *Podarcis melisellensis* (Lacertidae). *Biological Journal of the Linnean Society*, 94, 251-264. <http://dx.doi.org/10.1111/j.1095-8312.2008.00953.x>
- Cabrera-Pérez, M. Á., Gallo-Barneto, R., Esteve, I., Patiño-Martínez, C., y López-Jurado, L. F. (2012). The management and control of the California kingsnake in Gran Canaria (Canary Islands): project LIFE+ Lampropeltis. *Aliens: The Invasive Species Bulletin*, 32, 20-28.
- Cajigas-Gandia, A., Carvajal, J. R. y Torres López, J. (2008). An Instance of Nectarivory in a Cuban Green Anole, *Anolis porcatus* (Squamata: Dactyloidae). *Amphibians*, 24, 37-39. <http://dx.doi.org/10.17161/randa.v25i1.14230>
- Campbell, T. S. y Echternacht, A. C. (2003). Introduced species as moving targets: changes in body sizes of introduced lizards following experimental introductions and historical invasions. *Biological Invasions*, 5, 193-212.
- Capinha, C., Seebens, H., Cassey, P., García-Díaz, P., Lenzner, B., Mang *et al.* (2017). Diversity, biogeography and the global flows of alien amphibians and reptiles. *Diversity and Distributions*, 23, 1313-1322. <https://doi.org/10.1111/ddi.12617>
- de Armas, L. F. (2008). Notas sobre la historia natural y el ciclo de la vida de *Leucoera poeyi* (Chevrolat, 1838) (Coleoptera: Chrysomelidae). *Boletín Sociedad Entomológica Aragonesa*, 43, 315-318.
- de Armas, L. F. (2011). Depredación de chicharras (Hemiptera: Auchenorrhincha: Cicadidae) por *Anolis* spp. (Reptilia: Polychrotidae) en Cuba. *Boletín Sociedad Entomológica Aragonesa*, 49, 222.

- de Armas, L. F. (2021). Coprophagy and Cannibalism in the Cuban Green Anole, *Anolis porcatius* Gray 1840 (Squamata: Dactyloidea). *Reptiles & Amphibians*, 28, 30-31.
- de Armas, L. F. (2022). Consumption and Dispersal of West Indian Holly (*Turnera ulmifolia*, Turneraceae) Seeds by Cuban Green Anoles, *Anolis porcatius* (Squamata: Dactyloidea). *Reptiles & Amphibians*, 29, 115-116. <https://doi.org/10.17161/randa.v29i1.16306>
- de Armas, L. F. y Iturriaga, M. (2008). The Cuban Green Anole, *Anolis porcatius* (Squamata: Dactyloidea): Catering is the Best. *Amphibians*, 26, 35-38. <http://dx.doi.org/10.17161/randa.v26i1.14326>
- de Armas, L. F. y Ramos-Hernández, J. M. (2014). *Gynacantha nervosa* Rambur, 1842 (Odonata: Aeschnidae) depredada por el lagarto *Anolis porcatius* (Squamata: Polychrotidae). *Boletín de la Sociedad Entomológica Aragonesa*, 54, 410.
- de la Cruz, J., Garcés, G. y Ruíz, A. (2021). Coprophagy and Cannibalism in the Cuban Green Anole, *Anolis porcatius* Gray, 1840 (Squamata: Dactyloidea). *Amphibians*, 28, 30-31. <http://dx.doi.org/10.17161/randa.v28i1.15295>
- DiCasteri, F. (1989). History of biological invasions with special emphasis on the Old World. En J. A. Drake, Mooney H. J., F. DiCasteri, F. Groves, F. J. Kruger y M. Williamson (Eds.), *Biological invasions: a global perspective*. Wiley.
- Fernández-Palacios, J. M., Kreft, H., Irl, S. D. H., Norder, S., Ah-Peng, C., Borges, P. A. V. et al. (2021). Scientists' warning – The outstanding biodiversity of islands is in peril. *Global Ecology and Conservation*, 31. <https://doi.org/10.1016/j.gecco.2021.e01847>
- Flores, A. J. y Rando, J. C. (2021). Trophic ecology of cats (*Felis catus*) in Montaña de Guaza: implications for the conservation of the critically endangered giant lizard of Tenerife (*Gallotia intermedia*). *Scientia Insularum. Revista de Ciencias Naturales en islas*, 4, 63-80. <https://doi.org/10.25145/j.SI.2021.04.04>
- Fox, J. y Weisberg, S. (2019). *An R companion to applied regression* (3ª edición). Sage.
- Frankham, R., Briscoe, D. A. y Ballou, J. D. (2002). *Introduction to conservation genetics*. Cambridge University Press.
- García-Padrón, L. Y., Amador, G. L., Delgado, M. M. y Serrano y. M. (2021). Trophic ecology and morphology of *Anolis bartschi* (Squamata: Dactyloidea) in Viñales National Park, Cuba. *Phyllomedusa*, 19, 177-187. <https://doi.org/10.11606/ISSN.2316-9079.V19I2P177-187>
- Heaney, L. R. (2000). Dynamic disequilibrium: A long-term, large-scale perspective on the equilibrium model of island biogeography. *Global Ecology and Biogeography*, 9, 59-74. <https://doi.org/10.1046/j.1365-2699.2000.00163.x>
- Hernández, M. A., Martín, A. y Nogales, M. (1999). Breeding success and predation on artificial nests of the endemic pigeons Bolle's Laurel Pigeon *Columba bollii* and White-tailed Laurel Pigeon *Columba junoniae* in the laurel forest of Tenerife (Canary Islands). *Ibis*, 141, 52-59. <https://doi.org/10.1111/j.1474-919X.1999.tb04262.x>

- Hernández-Ferrer, M., de Domingo-Basterrechea, A., González-Castro, A., Rando, J. C., González-Carracedo, M., Lorenzo-Díaz *et al.* (2023). Estudio del origen, identidad taxonómica y relación entre poblaciones de anolis y primeros datos de su dieta y la del camaleón de Yemen (Memoria).
- Hernández-Salinas, U., Ramírez-Bautista, A. y Cruz-Elizalde, R. (2016). Variation in Feeding Habits of the Arboreal Lizard *Anolis nebulosus* (Squamata: Dactyloidae) from Island and Mainland Populations in Mexican Pacific. *Copeia*, 104, 831-837. <https://doi.org/10.1643/CE-16-390>
- Herrel, A., Mcbrayer, L. y Larson, P. (2007). Functional basis for sexual differences in bite force in the lizard *Anolis carolinensis*. *Biological Journal of the Linnean Society*, 91, 111-119. <http://dx.doi.org/10.1111/j.1095-8312.2007.00772.x>
- Hortal, J. y Lobo, J. M. (2005). An ED-based protocol for optimal sampling of biodiversity. *Biodiversity and Conservation*, 14, 2913-2947. <https://doi.org/10.1007/s10531-004-0224-z>
- Hulme, P. E. (2009). Trade, transport and trouble: Managing invasive species pathways in an era of globalization. *Journal of Applied Ecology*, 46, 10-18. <https://doi.org/10.1111/j.1365-2664.2008.01600.x>
- Huyghe, K., Herrel, A., Vanhooydonck, B., Meyers, J. J. y Irschick, D. J. (2007). Microhabitat use, diet, and performance data on the Hispaniolan twig anole, *Anolis sheplani*: Pushing the boundaries of morphospace. *Zoology*, 110, 2-8. <https://doi.org/10.1016/j.zool.2006.06.001>
- Joger, U. (1984). Die Radiation der Gattung *Tarentola* in Makaronesien. *Cour. Forsch. Inst. Senckenberg*, 71, 91-111.
- Krebs, C. J. (2014). Chapter 14. Niche measures and resource preferences. En *Ecological Methodology* (pp. 598-655).
- Leclerc, C., Courchamp, F. y Bellard, C. (2018). Insular threat associations within taxa worldwide. *Scientific Reports*, 8. <https://doi.org/10.1038/s41598-018-24733-0>
- Lenart, L. A., Powell, R., Parmerlee, J. S., Lathrop, A. y Smith, D. D. (1997). Anoline diversity in three differentially altered habitats in the Sierra de Baoruco, República Dominicana, Hispaniola. *Biotropica*, 29, 117-123. <https://doi.org/10.1111/j.1744-7429.1997.tb00013.x>
- Lister, B. C. (1976). The nature of niche expansion in west indian anolis lizards i: ecological consequences of reduced competition. *Evolution*, 30, 659-676. <https://doi.org/10.1111/j.1558-5646.1976.tb00947.x>
- Losos, J. (2009). *Lizards in an evolutionary tree. Ecology and adaptive radiation of anoles*. University of California Press.
- Losos, J. B., Andrews, R. M., Sexton, W. J., Lexis, A. y Schuler, L. (1991). Behavior, Ecology, and Locomotor Performance of the Giant Anole, *Anolis frenatus*. *Caribbean Journal of Science*, 27.
- Lowe S., Browne M., Boudjelas S. y De Poorter M. (2004). 100 de las Especies Exóticas Invasoras más dañinas del mundo. Una selección del *Global Invasive Species Database*. Publicado por el Grupo Especialista de Especies Invasoras (GEEI-UICN), 12pp.
- MacArthur, R. H. y Wilson, E. O. (1967). *The Theory of Island Biogeography*. Princeton University Press.

- Macías-Hernández, N., de la Cruz López, S., Roca-Cusachs, M., Oromí, P. y Arnedo, M. A. (2016). A geographical distribution database of the genus *Dysdera* in the Canary Islands (Araneae, Dysderidae). *ZooKeys*, 625, 11-23. <https://doi.org/10.3897/zookeys.625.9847>
- Martín, A., Nogales, M., Alonso, J., Rodríguez, B., de León, L., Izquierdo, C., Martín, M. C. *et al.* (2002). Restauración de los Islotes y del Risco de Famara (Lanzarote). Departamento de Biología Animal. Univ. La Laguna, La Laguna. (*Unpublished Report*).
- Matthews, T. J. y Triastis, K. (2021). Island biogeography. *Current Biology*, 31, 1201-1207. <https://doi.org/10.1016/j.cub.2021.07.033>
- McKinney, M. L. y Lockwood, J. L. (1999). Biotic homogenization: a few winners replacing many losers in the next mass extinction. *Trends in Ecology & Evolution*, 14, 450-453. [https://doi.org/https://doi.org/10.1016/S0169-5347\(99\)01679-1](https://doi.org/https://doi.org/10.1016/S0169-5347(99)01679-1)
- Medina, F. M. y Nogales, M. (2009). A review on the impacts of feral cats (*Felis silvestris catus*) in the Canary Islands: Implications for the conservation of its endangered fauna. En *Biodiversity and Conservation*, 18, 829-846. <https://doi.org/10.1007/s10531-008-9503-4>
- Meyerson, L. A. y Mooney, H. A. (2007). Invasive alien species in an era of globalization. En *Frontiers in Ecology and the Environment*, 5, 199-208. [https://doi.org/10.1890/1540-9295\(2007\)5\[199:IASIAE\]2.0.CO;2](https://doi.org/10.1890/1540-9295(2007)5[199:IASIAE]2.0.CO;2)
- Okochi, I. yoshimura, M., Abe, T. y Suzuki, H. (2006). High population densities of an exotic lizard, *Anolis carolinensis* and its possible role as a pollinator in the Ogasawara Islands. *Buletin of FFPRI*, 5, 265-269. http://dx.doi.org/10.1007/978-4-431-53859-2_12
- Oksanen, J., Simpson, G., Blanchet, F., Kindt, R., Legendre, P., Minchin, P. *et al.* (2022). *vegan: Community Ecology Package* (R Package version 2.6-4. <<https://CRAN.R-project.org/package=vegan>>.).
- Renjifo, J., Pinilla-Renteria, E. y Londoño, J. (2014). Dimorphism, habitat use and diet for *Anolis maculiventris* (Lacertilia: Dactyloidae), in tropical rainforest in Chocó, Colombia. *Acta Biológica Colombiana*, 20, 89-100. <http://dx.doi.org/10.15446/abc.v20n1.39109>
- Piquet, J. C. y López-Darias, M. (2021). Invasive snake causes massive reduction of all endemic herpetofauna on Gran Canaria. *Proceedings of the Royal Society B: Biological Sciences*, 288. <https://doi.org/10.1098/rspb.2021.1939>
- R Development Core Team. (2023). *R: A language and environment for statistical computing*. R Foundation for Statistical Computing. <https://www.R-project.org/>
- Ríos-López, N., Joglar, R. L., Rodríguez-Gómez, C. A., Díaz-Vázquez, C. J. y Rivera, I. (2015). Natural History Notes of Saurophagy: An Update from the Puerto Rican Vertebrate Fauna. *Life: The Excitement of Biology*, 3, 118-136. [https://doi.org/10.9784/LEB3\(2\)Rios.02](https://doi.org/10.9784/LEB3(2)Rios.02)
- Rodríguez, A., Nogales, M., Rumeu, B. y Rodríguez, B. (2008). Temporal and spatial variation in the diet of the endemic lizard *Gallotia galloti* in an insular Mediterranean scrubland. *Journal of Herpetology*, 42, 213-222. <https://doi.org/10.1670/07-0752.1>

- Russell, J. C., Meyer, J. Y., Holmes, N. D. y Pagad, S. (2017). Invasive alien species on islands: Impacts, distribution, interactions and management. *Environmental Conservation*, 44, 359-370. <https://doi.org/10.1017/S0376892917000297>
- Schoener, T. W. (1968). The Anolis Lizards of Bimini: Resource Partitioning in a Complex Fauna. *Ecology*, 49, 704-726. <https://doi.org/10.2307/1935534>
- Socarrás, A., de la Cruz, A. J., Gárces, G. y Ruíz, A. (1988). Saurofagia en Anolis (Sauria: Iguanidae). *Miscelánea Zoológica*, 38.
- Traveset, A., Nogales, M., Alcover, J. A., Delgado, J. D., López-Darias, M., Godoy *et al.* (2009). A review on the effects of alien rodents in the Balearic (western Mediterranean Sea) and Canary Islands (eastern Atlantic Ocean). *Biological Invasions*, 11, 1653-1670. <https://doi.org/10.1007/s10530-008-9395-y>
- Valido, A. y Nogales, M. (2003). Digestive ecology of two omnivorous Canarian lizard species (*Gallotia*, Lacertidae). *Amphibia & Reptilia*, 24, 331-344. <http://dx.doi.org/10.1163/156853803322440790>
- Verwajen, D., Van Damme, R. y Herrel, A. (2002). Relationships between head size, bite force, prey handling efficiency and diet in two sympatric lacertid lizards. *Functional Ecology*, 16, 842-850. <https://doi.org/10.1046/j.1365-2435.2002.00696.x>
- Whittaker, R. J., Fernández-Palacios, J. M. y Matthews, T. J. (2023). *Island biogeography: geo-environmental dynamics, ecology, evolution, human impact, and conservation*. Oxford University Press.
- Whittaker, R. J., Triantis, K. A. y Ladle, R. J. (2008). A general dynamic theory of oceanic island biogeography. *Journal of Biogeography*, 35, 977-994. <https://doi.org/10.1111/j.1365-2699.2008.01892.x>
- Williamson, M. (1996). *Biological Invasions*. Chapman y Hall.

Anexo I

Listado de especies presentes en el área de estudio (Campo de Golf Las Américas) según datos obtenidos de Biota (2024). EH: El Hierro; LP: La Palma; LG: LA Gomera; TF: Tenerife; GC: Gran Canaria; FV: Fuerteventura; LZ: Lanzarote. X: Presencia. End-CA: Endémico de Canarias. ISI: Introducido Seguro Invasor; ISF: Introducido Seguro con Falta de Datos; ISN: Introducido Seguro No Invasor; ISP: Introducido Seguro Potencialmente Invasor; NS: Nativo Seguro; Introducido Probable; NP: Nativo Probable.

Filo	Clase	Orden	Familia	Género	Especie/subespecie	Autoría	EH	LP	LG	TF	GC	FV	LZ	Endemicidad género	Endemicidad sp./subsp.	Origen
Annelida	Clitellata	Crassiclitellata	Megascolecidae	<i>Amyntas</i>	<i>Amyntas morrissi</i>	Beddard, 1892		X	X	X	X					ISF
Annelida	Clitellata	Haplotaxida	Naididae	<i>Chaetogaster</i>	<i>Chaetogaster diastrophus</i>	Gruithuisen, 1828				X						NP
Annelida	Clitellata	Haplotaxida	Naididae	<i>Nais</i>	<i>Nais communis</i>	Piguet, 1906				X						NP
Annelida	Clitellata	Haplotaxida	Naididae	<i>Pristina</i>	<i>Pristina aequiseta</i>	Bourne, 1891				X						NP
Annelida	Clitellata	Haplotaxida	Naididae	<i>Pristina</i>	<i>Pristina proboscidea</i>	Beddard, 1896				X						NP
Arthropoda	Arachnida	Araneae	Gnaphosidae	<i>Leptodrassex</i>	<i>Leptodrassex hylaestomachi</i>	Berland, 1934	X			X	X	X	X			NS
Arthropoda	Diplopoda	Julida	Julidae	<i>Dolichoiliulus</i>	<i>Dolichoiliulus nemasoma</i>	Engghoff, 1992				X					End-CA	NS
Arthropoda	Insecta	Dermaptera	Carcinophoridae	<i>Nala</i>	<i>Nala lividipes</i>	Dufour, 1828		X		X						ISN
Arthropoda	Insecta	Hemiptera	Phoenicococcidae	<i>Phoenicococcus</i>	<i>Phoenicococcus marlati</i>	Cockerell, 1899		X	X	X	X	X	X			ISP
Arthropoda	Insecta	Hemiptera	Aleyrodidae	<i>Acaudaleyrodes</i>	<i>Acaudaleyrodes rachipora</i>	Singh, 1931		X	X	X	X	X	X			ISI
Arthropoda	Insecta	Hemiptera	Aleyrodidae	<i>Aleurodicus</i>	<i>Aleurodicus floccissimus</i>	Martin, Hernández-Suárez & Carnero,		X	X	X	X					ISI
Arthropoda	Insecta	Hemiptera	Tingidae	<i>Galeatus</i>	<i>Galeatus scrophicus</i>	Saunders, 1876			X	X	X	X	X			NP
Arthropoda	Insecta	Hemiptera	Miridae	<i>Perenotus</i>	<i>Perenotus stysi</i>	Ribes, Pagola-Carte & Heiss, 2008				X				End-CA	End-CA	NS
Arthropoda	Insecta	Hemiptera	Reduviidae	<i>Zelus</i>	<i>Zelus renardii</i>	Kolenati, 1857				X	X	X	X			ISI
Arthropoda	Insecta	Planipennia	Myrmeleontidae	<i>Creoleon</i>	<i>Creoleon griseus</i> subsp. <i>griseus</i>	Klug, 1834				X	X		X			NP
Arthropoda	Insecta	Planipennia	Myrmeleontidae	<i>Myrmeleon</i>	<i>Myrmeleon alternans</i>	Brullé, 1839	X	X	X	X	X					NP
Arthropoda	Insecta	Planipennia	Chrysopidae	<i>Pseudomallada</i>	<i>Pseudomallada subcostalis</i>	McLachlan, 1882			X	X	X	X	X		End-CA	NS
Arthropoda	Insecta	Coleoptera	Staphylinidae	<i>Creophilus</i>	<i>Creophilus maxillosus</i>	Linnaeus, 1758	X	X		X	X	X				NP
Arthropoda	Insecta	Coleoptera	Scarabaeidae	<i>Oxythyrea</i>	<i>Oxythyrea funesta</i>	Poda, 1761		X		X	X	X				NP
Arthropoda	Insecta	Coleoptera	Scarabaeidae	<i>Protaetia</i>	<i>Protaetia cuprea</i>	Fabricius, 1775				X	X	X				IP
Arthropoda	Insecta	Coleoptera	Tenebrionidae	<i>Hegeter</i>	<i>Hegeter brevicollis</i>	Brullé, 1839				X					End-CA	NS
Arthropoda	Insecta	Coleoptera	Tenebrionidae	<i>Hegeter</i>	<i>Hegeter tristis</i>	Fabricius, 1792	X	X	X	X	X	X	X			NP
Arthropoda	Insecta	Coleoptera	Tenebrionidae	<i>Nesotes</i>	<i>Nesotes conformis</i> subsp. <i>conformis</i>	Gemminger, 1870	X			X					End-CA	NS
Arthropoda	Insecta	Coleoptera	Tenebrionidae	<i>Pimelia</i>	<i>Pimelia canariensis</i>	Brullé, 1839				X					End-CA	NS
Arthropoda	Insecta	Coleoptera	Anthicidae	<i>Aulacoderus</i>	<i>Aulacoderus canariensis</i>	Wollaston, 1864	X	X	X	X	X	X	X		End-CA	NS
Arthropoda	Insecta	Coleoptera	Scaptiidae	<i>Anaspis</i>	<i>Anaspis proteus</i>	Wollaston, 1854	X	X	X	X	X	X	X			NS
Arthropoda	Insecta	Coleoptera	Cerambycidae	<i>Deroplia</i>	<i>Deroplia gertiana</i>	Sama, 1996				X					End-CA	NS
Arthropoda	Insecta	Coleoptera	Cerambycidae	<i>Lepromoris</i>	<i>Lepromoris gibba</i>	Brullé, 1839	X	X	X	X	X	X	X	End-CA	End-CA	NS
Arthropoda	Insecta	Coleoptera	Chrysomelidae	<i>Macrocoma</i>	<i>Macrocoma latifrons</i>	Lindberg, 1953				X					End-CA	NS
Arthropoda	Insecta	Lepidoptera	Erebidae	<i>Hypena</i>	<i>Hypena lividalis</i>	Hübner, 1796		X		X	X	X	X			NP
Arthropoda	Insecta	Lepidoptera	Erebidae	<i>Zebeeba</i>	<i>Zebeeba poliotis</i> subsp. <i>poliotis</i>	Hampson, 1905		X		X					End-CA	NS
Arthropoda	Insecta	Lepidoptera	Tineidae	<i>Tinea</i>	<i>Tinea murariella</i>	Staudinger, 1859		X		X	X	X				NP
Arthropoda	Insecta	Lepidoptera	Coleophoridae	<i>Ischnophanes</i>	<i>Ischnophanes canariella</i>	Baldizzone, 1984				X					End-CA	NS
Arthropoda	Insecta	Lepidoptera	Autostichidae	<i>Apatema</i>	<i>Apatema confluellum</i>	Karsholt, 2021				X					End-CA	NS
Arthropoda	Insecta	Lepidoptera	Pyralidae	<i>Ancylosis</i>	<i>Ancylosis brunneella</i>	Chrétien, 1911				X						NP
Arthropoda	Insecta	Lepidoptera	Pieridae	<i>Catopsilia</i>	<i>Catopsilia florella</i>	Fabricius, 1775	X	X	X	X	X	X	X			IP
Arthropoda	Insecta	Lepidoptera	Nymphalidae	<i>Danaus</i>	<i>Danaus plexippus</i>	Linnaeus, 1758	X	X	X	X	X	X	X			NP

Arthropoda	Insecta	Lepidoptera	Lycaenidae	<i>Zizeeria</i>	<i>Zizeeria knysna</i>	Trimen, 1862	X	X	X	X	X	X	X			NP		
Arthropoda	Insecta	Lepidoptera	Noctuidae	<i>Abrostola</i>	<i>Abrostola canariensis</i>	Hampson, 1913	X	X	X	X	X	X			End-CA	NS		
Arthropoda	Insecta	Lepidoptera	Noctuidae	<i>Agrotis</i>	<i>Agrotis trux</i> subsp. <i>canarica</i>	Hübner, [1824]	X	X	X	X	X	X	X			End-CA	NS	
Arthropoda	Insecta	Lepidoptera	Noctuidae	<i>Euxoa</i>	<i>Euxoa acanariensis</i> subsp. <i>canariensis</i>	Rebel, 1902			X	X	X					End-CA	NS	
Arthropoda	Insecta	Lepidoptera	Noctuidae	<i>Heliothis</i>	<i>Heliothis nubigera</i>	Schäffer, 1851		X	X	X	X	X					NP	
Arthropoda	Insecta	Lepidoptera	Noctuidae	<i>Mniotype</i>	<i>Mniotype usurpatrix</i> subsp. <i>usurpatrix</i>	Rebel, 1914		X		X	X					End-CA	NS	
Arthropoda	Insecta	Lepidoptera	Noctuidae	<i>Mythimna</i>	<i>Mythimna languida</i>	Walker, 1858				X	X						NP	
Arthropoda	Insecta	Lepidoptera	Noctuidae	<i>Thysanoplusia</i>	<i>Thysanoplusia orichalcea</i>	Fabricius, 1775	X	X	X	X	X	X					IP	
Arthropoda	Insecta	Lepidoptera	Noctuidae	<i>Caradrina</i>	<i>Caradrina clavipalpis</i>	Scopoli, 1763			X	X	X	X					NS	
Arthropoda	Insecta	Lepidoptera	Noctuidae	<i>Caradrina</i>	<i>Caradrina rebeli</i> subsp. <i>rebeli</i>	Staudinger, 1901	X	X	X	X	X					End-CA	NS	
Arthropoda	Insecta	Diptera	Scatopsidae	<i>Coboldia</i>	<i>Coboldia fuscipes</i>	Meigen, 1830	X	X		X	X	X	X				NP	
Arthropoda	Insecta	Diptera	Muscidae	<i>Coenosia</i>	<i>Coenosia attenuata</i>	Stein, 1908		X	X	X							NP	
Arthropoda	Insecta	Hymenoptera	Crabronidae	<i>Liris</i>	<i>Liris haemorrhoidalis</i>	Fabricius, 1804				X	X						NP	
Arthropoda	Insecta	Hymenoptera	Pteromalidae	<i>Halticoptera</i>	<i>Halticoptera circulus</i>	Walker, 1833				X	X						NP	
Arthropoda	Insecta	Hymenoptera	Pteromalidae	<i>Sphegigaster</i>	<i>Sphegigaster nigricornis</i>	Nees, 1834				X	X						NP	
Arthropoda	Insecta	Hymenoptera	Eupelmidae	<i>Eupelmus</i>	<i>Eupelmus moroderi</i>	Bolívar, 1933			X	X							NP	
Arthropoda	Insecta	Hymenoptera	Encyrtidae	<i>Adelencyrtus</i>	<i>Adelencyrtus aulacaspidis</i>	Bréthes, 1914				X							NP	
Arthropoda	Insecta	Hymenoptera	Encyrtidae	<i>Anagyrus</i>	<i>Anagyrus matritensis</i>	Mercet, 1921		X	X	X							NP	
Arthropoda	Insecta	Hymenoptera	Encyrtidae	<i>Anagyrus</i>	<i>Anagyrus pseudococci</i>	Girault, 1915				X							IP	
Arthropoda	Insecta	Hymenoptera	Encyrtidae	<i>Ericydnus</i>	<i>Ericydnus pilosulus</i>	Graham, 1991				X							NP	
Arthropoda	Insecta	Hymenoptera	Encyrtidae	<i>Mahencyrtus</i>	<i>Mahencyrtus comara</i>	Walker, 1837		X		X							NP	
Arthropoda	Insecta	Hymenoptera	Encyrtidae	<i>Plagiomerus</i>	<i>Plagiomerus diaspidis</i>	Crawford, 1910			X	X							NP	
Arthropoda	Insecta	Hymenoptera	Encyrtidae	<i>Tetracnemoidea</i>	<i>Tetracnemoidea peregrina</i>	Compere, 1939			X		X						NP	
Arthropoda	Insecta	Hymenoptera	Aphelinidae	<i>Encarsia</i>	<i>Encarsia sophia</i>	Girault & Dodd, 1915				X	X	X	X	X			IP	
Arthropoda	Insecta	Hymenoptera	Eulophidae	<i>Diglyphus</i>	<i>Diglyphus chabrias</i>	Walker, 1838		X		X							NP	
Arthropoda	Insecta	Hymenoptera	Eulophidae	<i>Hemiptarsenus</i>	<i>Hemiptarsenus varicornis</i>	Girault, 1913		X		X							NP	
Arthropoda	Insecta	Hymenoptera	Dryinidae	<i>Echthrodelphax</i>	<i>Echthrodelphax hortusensis</i>	Abdul-Nour, 1976				X							NP	
Arthropoda	Insecta	Hymenoptera	Chrysididae	<i>Chrysis</i>	<i>Chrysis canaria</i> subsp. <i>canaria</i>	Linsenmaier, 1959				X	X						End-CA	NS
Arthropoda	Insecta	Hymenoptera	Chrysididae	<i>Hedychridium</i>	<i>Hedychridium tenerifense</i>	Linsenmaier, 1968				X	X						End-CA	NS
Arthropoda	Insecta	Hymenoptera	Vespidae	<i>Polistes</i>	<i>Polistes dominula</i>	Christ, 1791		X	X	X	X	X	X				NP	
Arthropoda	Insecta	Hymenoptera	Apidae	<i>Xylocopa</i>	<i>Xylocopa pubescens</i>	Spinola, 1838				X	X						IP	
Arthropoda	Insecta	Hymenoptera	Colletidae	<i>Hylaeus</i>	<i>Hylaeus ater</i>	Saunders, 1903	X	X	X	X							End-CA	NS
Arthropoda	Insecta	Hymenoptera	Halictidae	<i>Halictus</i>	<i>Halictus concinnus</i>	Brullé, 1839	X		X	X	X	X	X				End-CA	NS
Arthropoda	Insecta	Hymenoptera	Halictidae	<i>Lasioglossum</i>	<i>Lasioglossum loetum</i>	Brullé, 1839	X	X	X	X	X	X	X				End-CA	NS

Anexo II

Ejemplares de *A. porcatus* analizados, con sus datos biométricos y fecha de entrega por parte de empleados de GESPLAN, y contenido estomacal.
SVL: longitud hocico-cloaca, de sus siglas en inglés para *Snout-Vent Length*.

Ejemplar	An_1	An_2	An_3	An_4	An_5	An_6	An_7	An_8	An_9	An_10
Sexo	H	H	M	H	indet.	M	indet.	indet.	indet.	H
Largo Cabeza	NA	NA	NA	NA	NA	NA	NA	NA	NA	NA
Ancho Cabeza	NA	NA	NA	NA	NA	NA	NA	NA	NA	NA
Alto Cabeza	NA	NA	NA	NA	NA	NA	NA	NA	NA	NA
SVL	NA	NA	NA	NA	NA	NA	NA	NA	NA	NA
Localización	Golf Las Américas	Golf Las Américas	Golf Las Américas	Golf Las Américas	Golf Las Américas	Golf Las Américas	Golf Las Américas	Golf Las Américas	Golf Las Américas	Golf Las Américas
Fecha	sep-22	sep-22	sep-22	sep-22	sep-22	sep-22	sep-22	sep-22	sep-22	sep-22
Diptera	0	0	0	0	0	0	0	0	0	0
Sarcophagidae	0	0	0	0	0	0	0	0	0	0
Syrphidae	0	0	0	0	0	0	0	0	0	0
Tachinidae	0	0	0	0	0	0	0	0	0	0
Diptera indet.	0	0	0	0	0	0	0	0	0	0
Blattaria	0	0	0	0	0	0	0	0	0	0
Hymenoptera	1	1	0	0	1	5	0	0	5	1
Superfam. Chalcidoidea	0	0	0	0	0	0	0	0	0	0
Formicidae	0	0	0	0	0	0	0	0	0	1
Chrysididae	0	0	0	0	0	0	0	0	0	0
Halictidae	0	0	0	0	0	0	0	0	0	0
Vespidae	1	0	0	0	1	2	0	0	0	0
Braconidae	0	0	0	0	0	1	0	0	0	0
Crabronidae	0	0	0	0	0	0	0	0	0	0
Hymenopt indet.	0	1	0	0	0	2	0	0	5	0
Araneae	0	1	0	0	0	0	4	0	1	0
Diseridae	0	0	0	0	0	0	4	0	0	0
Araneae indet.	0	1	0	0	0	0	0	0	1	0
Coleoptera	0	0	0	0	0	0	0	0	0	0
Curculionidae	0	0	0	0	0	0	0	0	0	0
Coleoptera indet.	0	0	0	0	0	0	0	0	0	0
Hemiptera	0	0	0	0	0	0	0	0	0	0
Reduviidae	0	0	0	0	0	0	0	0	0	0
Pentatomidae	0	0	0	0	0	0	0	0	0	0
Coreidae	0	0	0	0	0	0	0	0	0	0
Hemiptera indet.	0	0	0	0	0	0	0	0	0	0
Lepidoptera	0	0	0	0	0	2	0	0	0	0
Neuroptera	0	0	0	0	0	0	0	0	0	0
Orthoptera	0	0	0	0	0	0	0	0	0	1
Acrididae	0	0	0	0	0	0	0	0	0	0
Ortoptera indet.	0	0	0	0	0	0	0	0	0	1
Stylommatophora	0	0	0	0	0	0	0	0	0	0
Psocoptera	0	0	0	0	0	0	0	0	0	0
Arthropoda indet.	1	0	0	0	0	0	2	1	1	0
Presas	1	2	0	0	1	7	4	0	6	2
Semillas indet.	0	0	0	0	0	0	0	0	0	0

Ejemplar	An_11	An_12	An_13	An_14	An_15	An_16	An_17	An_17'	An_18	An_18'
Sexo	indet.	H	H	H	indet.	H	M	H	indet.	H
Largo Cabeza	NA	NA	NA	NA	NA	NA	19,5	NA	19	NA
Ancho Cabeza	NA	NA	NA	NA	NA	NA	10	NA	7,9	NA
Alto Cabeza	NA	NA	NA	NA	NA	NA	7,5	NA	5	NA
SVL	NA	NA	NA	NA	NA	NA	61	NA	45	NA
Localización	Golf Las Américas	Golf Las Américas	Golf Las Américas	Golf Las Américas	Golf Las Américas	Golf Las Américas	Golf Las Américas	Golf Las Américas	Golf Las Américas	Golf Las Américas
Fecha	sep-22	sep-22	sep-22	sep-22	sep-22	sep-22	feb-23	sep-22	feb-23	sep-22
Diptera	0	0	0	0	0	0	5	0	3	0
Sarcophagidae	0	0	0	0	0	0	0	0	0	0
Syrphidae	0	0	0	0	0	0	1	0	0	0
Tachinidae	0	0	0	0	0	0	2	0	0	0
Diptera indet.	0	0	0	0	0	0	2	0	3	0
Blattaria	0	0	0	0	0	0	0	0	0	0
Hymenoptera	2	9	0	2	1	3	4	0	0	0
Superfam. Chalcidoidea	0	0	0	0	0	0	0	0	0	0
Formicidae	2	8	0	0	0	3	0	0	0	0
Chrysididae	0	0	0	0	0	0	1	0	0	0
Halictidae	0	0	0	0	0	0	1	0	0	0
Vespidae	0	0	0	0	0	0	0	0	0	0
Braconidae	0	0	0	0	0	0	2	0	0	0
Crabronidae	0	0	0	0	0	0	0	0	0	0
Hymenopt indet.	0	1	0	2	1	0	0	0	0	0
Araneae	2	0	0	0	0	0	0	0	0	0
Diseridae	0	0	0	0	0	0	0	0	0	0
Araneae indet.	2	0	0	0	0	0	0	0	0	0
Coleoptera	1	1	0	0	3	0	0	0	0	0
Curculionidae	0	0	0	0	0	0	0	0	0	0
Coleoptera indet.	1	1	0	0	3	0	0	0	0	0
Hemiptera	1	1	0	0	0	0	0	0	0	0
Reduviidae	1	0	0	0	0	0	0	0	0	0
Pentatomidae	0	0	0	0	0	0	0	0	0	0
Coreidae	0	0	0	0	0	0	0	0	0	0
Hemiptera indet.	0	1	0	0	0	0	0	0	0	0
Lepidoptera	0	1	0	1	0	1	0	1	0	0
Neuroptera	0	0	0	0	0	0	0	0	0	0
Orthoptera	1	0	0	0	0	0	0	0	0	0
Acrididae	1	0	0	0	0	0	0	0	0	0
Ortoptera indet.	0	0	0	0	0	0	0	0	0	0
Stylommatophora	0	0	0	0	0	0	0	0	0	0
Psocoptera	0	0	0	0	0	0	0	0	0	0
Arthropoda indet.	3	0	1	0	0	0	0	0	0	2
Presas	7	12	0	3	4	4	9	1	3	0
Semillas indet.	0	0	0	0	0	0	0	0	0	0

Ejemplar	An_19	An_20	An_21	An_22	An_23	An_24	An_25	An_26	An_27	An_28
Sexo	indet.	indet.	indet.	indet.	M	indet.	indet.	indet.	indet.	indet.
Largo Cabeza	14	12	16,12	14,58	16,98	12,68	14,07	11,64	13,41	13,39
Ancho Cabeza	6,9	5,9	8,65	8,13	9,48	6,87	7,38	6,75	7,36	6,97
Alto Cabeza	5	4,9	5,85	5,15	7,55	5,15	5,29	4,34	5,25	5,27
SVL	45	37	55	45,5	56	39,5	45	38,5	43,5	47
Localización	Golf Las Américas	Golf Las Américas	Golf Las Américas	Golf Las Américas	Golf Las Américas	Golf Las Américas	Golf Las Américas	Golf Las Américas	Golf Las Américas	Golf Las Américas
Fecha	feb-23	feb-23	ene-23	mar-23	ene-23	ene-23	ene-23	ene-23	ene-23	ene-23
Diptera	6	1	0	0	1	0	1	0	1	14
Sarcophagidae	0	0	0	0	0	0	0	0	0	0
Syrphidae	0	0	0	0	0	0	0	0	0	0
Tachinidae	0	0	0	0	0	0	0	0	0	0
Diptera indet.	6	1	0	0	1	1	0	0	1	14
Blattaria	0	0	0	1	0	0	0	0	0	0
Hymenoptera	0	0	0	2	0	1	0	1	0	0
Superfam. Chalcidoidea	0	0	0	0	0	0	0	0	0	0
Formicidae	0	0	0	1	0	0	0	1	0	0
Chrysididae	0	0	0	0	0	0	0	0	0	0
Halictidae	0	0	0	0	0	0	0	0	0	0
Vespidae	0	0	0	0	0	0	0	0	0	0
Braconidae	0	0	0	0	0	0	0	0	0	0
Crabronidae	0	0	0	0	0	0	0	0	0	0
Hymenopt indet.	0	0	0	1	0	1	0	0	0	0
Araneae	0	0	0	0	0	1	0	1	0	0
Disderidae	0	0	0	0	0	0	0	0	0	0
Araneae indet.	0	0	0	0	0	1	0	1	0	0
Coleoptera	0	0	0	0	0	0	0	0	0	0
Curculionidae	0	0	0	0	0	0	0	0	0	0
Coleoptera indet.	0	0	0	0	0	0	0	0	0	0
Hemiptera	0	0	0	0	0	0	0	0	0	0
Reduviidae	0	0	0	0	0	0	0	0	0	0
Pentatomidae	0	0	0	0	0	0	0	0	0	0
Coreidae	0	0	0	0	0	0	0	0	0	0
Hemiptera indet.	0	0	0	0	0	0	0	0	0	0
Lepidoptera	0	0	1	1	0	0	0	0	0	1
Neuroptera	0	0	0	0	0	0	0	1	0	0
Orthoptera	0	0	0	0	0	0	0	0	0	0
Acrididae	0	0	0	0	0	0	0	0	0	0
Orthoptera indet.	0	0	0	0	0	0	0	0	0	0
Stylommatophora	0	0	0	0	0	0	0	0	0	0
Psocoptera	0	0	0	0	0	0	0	0	0	0
Arthropoda indet.	0	0	2	0	0	2	2	1	1	0
Presas	6	1	1	4	1	3	0	3	1	15
Semillas indet.	0	0	0	0	0	0	0	0	0	0

Ejemplar	An_29	An_30	An_31	An_32	An_33	An_34	An_35	An_36	An_37	An_38
Sexo	indet.	indet.	indet.	M	M	M	H	M	M	M
Largo Cabeza	12,46	12,92	22,55	23,81	26,03	23,79	18,64	22,51	22,15	24,2
Ancho Cabeza	6,32	6,37	11,73	11,79	12,26	10,99	8,9	10,2	11,44	10,64
Alto Cabeza	4,34	3,92	9,3	8,42	10,09	7,87	5,7	7,89	7,85	8,22
SVL	38	39	69	74	74	70,5	63	64,5	70	73,5
Localización	Golf Las Américas	Golf Las Américas	Golf Las Américas	Golf Las Américas	Golf Las Américas	Golf Las Américas	Golf Las Américas	Golf Las Américas	Golf Las Américas	Golf Las Américas
Fecha	ene-23	ene-23	mar-23	mar-23	mar-23	mar-23	mar-23	mar-23	mar-23	mar-23
Diptera	2	1	0	0	0	1	0	1	0	0
Sarcophagidae	0	0	0	0	0	0	0	0	0	0
Syrphidae	0	0	0	0	0	0	0	0	0	0
Tachinidae	0	0	0	0	0	0	0	0	0	0
Diptera indet.	2	1	0	0	0	1	0	1	0	0
Blattaria	0	0	0	1	0	1	0	0	0	1
Hymenoptera	1	0	3	1	0	0	2	5	0	2
Superfam. Chalcidoidea	0	0	0	0	0	0	0	0	0	0
Formicidae	1	0	3	0	0	0	0	3	0	0
Chrysididae	0	0	0	0	0	0	0	0	0	0
Halictidae	0	0	0	0	0	0	0	0	0	0
Vespidae	0	0	0	0	0	0	0	0	0	0
Braconidae	0	0	0	0	0	0	0	0	0	0
Crabronidae	0	0	0	0	0	0	0	0	0	0
Hymenopt indet.	0	0	0	1	0	0	2	2	0	2
Araneae	0	0	6	1	1	0	0	1	0	1
Disderidae	0	0	0	0	0	0	0	0	0	0
Araneae indet.	0	0	6	1	1	0	0	1	0	1
Coleoptera	0	0	0	0	0	0	0	2	0	0
Curculionidae	0	0	0	0	0	0	0	0	0	0
Coleoptera indet.	0	0	0	0	0	0	0	2	0	0
Hemiptera	0	2	0	1	0	0	0	0	0	0
Reduviidae	0	0	0	0	0	0	0	0	0	0
Pentatomidae	0	0	0	0	0	0	0	0	0	0
Coreidae	0	0	0	0	0	0	0	0	0	0
Hemiptera indet.	0	2	0	1	0	0	0	0	0	0
Lepidoptera	0	0	0	0	0	0	0	0	0	0
Neuroptera	0	0	1	1	0	0	0	0	0	0
Orthoptera	0	0	0	0	1	0	0	0	0	0
Acrididae	0	0	0	0	0	0	0	0	0	0
Orthoptera indet.	0	0	0	0	1	0	0	0	0	0
Stylommatophora	0	0	0	0	0	0	0	0	0	0
Psocoptera	0	0	0	0	0	0	0	0	0	0
Arthropoda indet.	0	0	1	0	1	0	0	0	1	0
Presas	3	3	10	5	2	2	2	9	0	4
Semillas indet.	0	0	0	1	0	1	0	0	0	0

Ejemplar	An_39	An_40	An_41	An_42	An_43	An_44	An_45	An_46	An_47	An_48
Sexo	H	H	indet.	H	H	H	M	M	M	M
Largo Cabeza	17,82	18,91	26,64	16,21	18,1	17,6	22,75	23,08	23,6	23,64
Ancho Cabeza	8,21	8,46	13,63	7,82	8,87	8,78	10,49	10,7	12,4	11,48
Alto Cabeza	5,68	4,63	9,67	5,27	5,87	6,27	6,4	7,96	8,7	7,55
SVL	54	59	72	56	59	62,5	73	70	74	71,5
Localización	Golf Las Américas	Golf Las Américas	Golf Las Américas	Golf Las Américas	Golf Las Américas	Golf Las Américas	Golf Las Américas	Golf Las Américas	Golf Las Américas	Golf Las Américas
Fecha	mar-23	mar-23	mar-23	mar-23	NA	mar-23	mar-23	mar-23	mar-23	mar-23
Diptera	0	0	0	0	2	2	0	0	0	0
Sarcophagidae	0	0	0	0	2	0	0	0	0	0
Syrphidae	0	0	0	0	0	0	0	0	0	0
Tachinidae	0	0	0	0	0	0	0	0	0	0
Diptera indet.	0	0	0	0	0	2	0	0	0	0
Blattaria	0	0	0	0	0	0	0	0	1	0
Hymenoptera	0	4	1	1	5	0	1	3	0	4
Superfam. Chalcidoidea	0	0	0	0	0	0	0	0	0	0
Formicidae	0	0	0	0	1	0	0	1	0	0
Chrysididae	0	0	0	0	0	0	0	0	0	0
Halictidae	0	0	0	0	0	0	0	0	0	0
Vespidae	0	0	0	0	0	0	0	0	0	0
Braconidae	0	3	0	1	0	0	0	0	0	0
Crabronidae	0	0	0	0	0	0	0	0	0	3
Hymenopt indet.	0	1	1	0	4	1	1	2	0	1
Araneae	0	0	0	0	1	0	0	0	0	0
Disseridae	0	0	0	0	0	0	0	0	0	0
Araneae indet.	0	0	0	0	1	1	0	0	0	0
Coleoptera	0	0	0	0	1	0	0	0	0	0
Curculionidae	0	0	0	0	1	0	0	0	0	0
Coleoptera indet.	0	0	0	0	0	0	0	0	0	0
Hemiptera	0	0	0	0	0	0	0	1	0	1
Reduviidae	0	0	0	0	0	0	0	0	0	0
Pentatomidae	0	0	0	0	0	0	0	0	0	0
Coreidae	0	0	0	0	0	0	0	0	0	0
Hemiptera indet.	0	0	0	0	0	1	0	1	0	1
Lepidoptera	0	1	0	0	0	0	0	0	0	0
Neuroptera	0	0	0	0	0	0	0	0	0	0
Orthoptera	0	0	0	0	0	1	0	1	0	0
Acrididae	0	0	0	0	0	0	0	0	0	0
Orthoptera indet.	0	0	0	0	0	1	0	1	0	0
Stylommatophora	0	0	0	0	0	0	0	0	0	0
Psocoptera	0	0	0	0	0	0	0	0	0	0
Arthropoda indet.	0	0	0	0	0	1	0	0	0	0
Presas	0	5	1	1	9	3	1	5	1	5
Semillas indet.	0	0	1	0	0	0	0	0	1	0

Ejemplar	An_49	An_50	An_51	An_52	An_53	An_54	An_55	An_56	An_57	An_58
Sexo	M	indet.	H	M	H	indet.	H	H	H	H
Largo Cabeza	23,02	24,11	16,69	23,68	17,69	22,44	16,98	17,19	16,72	18,19
Ancho Cabeza	11,97	11,79	7,78	11,09	7,66	10,62	8,9	7,85	8,03	9,31
Alto Cabeza	9,48	8,63	4,81	6,1	4,83	7,75	5,82	4,63	5,24	6,98
SVL	70,5	74	57	72,5	58	65	56	50	54	60
Localización	Golf Las Américas	Golf Las Américas	Golf Las Américas	Golf Las Américas	Golf Las Américas	Golf Las Américas	Golf Las Américas	Golf Las Américas	Golf Las Américas	Golf Las Américas
Fecha	mar-23	mar-23	mar-23	mar-23	mar-23	mar-23	mar-23	mar-23	mar-23	mar-23
Diptera	0	0	0	2	0	0	1	0	0	0
Sarcophagidae	0	0	0	0	0	0	0	0	0	0
Syrphidae	0	0	0	0	0	0	0	0	0	0
Tachinidae	0	0	0	0	0	0	0	0	0	0
Diptera indet.	0	0	0	2	0	0	1	0	0	0
Blattaria	0	1	0	0	0	0	1	0	0	0
Hymenoptera	0	0	1	0	5	0	3	0	2	20
Superfam. Chalcidoidea	0	0	0	0	0	0	0	0	0	0
Formicidae	0	0	0	0	2	0	2	0	0	0
Chrysididae	0	0	0	0	0	0	0	0	0	0
Halictidae	0	0	0	0	0	0	0	0	0	0
Vespidae	0	0	0	0	0	0	0	0	0	0
Braconidae	0	0	0	0	2	0	0	0	0	0
Crabronidae	0	0	0	0	0	0	0	0	0	0
Hymenopt indet.	0	0	1	0	1	0	1	0	2	20
Araneae	0	0	0	1	1	0	1	0	1	1
Disseridae	0	0	0	0	0	0	0	0	0	0
Araneae indet.	0	0	0	1	1	0	1	0	1	1
Coleoptera	0	0	1	1	1	0	0	1	1	2
Curculionidae	0	0	0	0	0	0	0	0	0	2
Coleoptera indet.	0	0	1	1	1	0	0	1	1	0
Hemiptera	0	0	0	0	0	0	0	0	0	0
Reduviidae	0	0	0	0	0	0	0	0	0	0
Pentatomidae	0	0	0	0	0	0	0	0	0	0
Coreidae	0	0	0	0	0	0	0	0	0	0
Hemiptera indet.	0	0	0	0	0	0	0	0	0	0
Lepidoptera	0	0	0	0	0	0	0	0	0	0
Neuroptera	0	0	0	1	0	0	0	0	0	0
Orthoptera	0	0	0	0	0	0	0	0	0	0
Acrididae	0	0	0	0	0	0	0	0	0	0
Orthoptera indet.	0	0	0	0	0	0	0	0	0	0
Stylommatophora	0	0	0	0	0	0	0	0	0	0
Psocoptera	0	0	0	0	0	0	0	0	1	0
Arthropoda indet.	0	0	0	0	0	0	0	1	2	0
Presas	0	1	2	5	7	0	6	0	5	23
Semillas indet.	0	0	0	0	0	0	0	0	1	0

Ejemplar	An_59	An_60	An_63	An_64	An_65	An_66	An_67	An_68	An_69	An_70
Sexo	H	H	M	H	H	H	H	H	H	H
Largo Cabeza	17,22	16,73	22,67	18,3	16,13	16,6	16,18	18,42	14,56	16,31
Ancho Cabeza	8,29	8,04	11,46	9,04	7,2	7,84	7,24	8,58	6,43	8,8
Alto Cabeza	6,02	5,74	10,05	5,85	5,64	5,61	6,27	4,86	5	4,8
SVL	61,5	58,5	75	63	61	59	54	59	56	56
Localización	Golf Las Américas	Golf Las Américas	Golf Las Américas	Golf Las Américas	Golf Las Américas	Golf Las Américas	Golf Las Américas	Golf Las Américas	Golf Las Américas	Golf Las Américas
Fecha	mar-23	mar-23	mar-23	mar-23	mar-23	mar-23	mar-23	mar-23	mar-23	mar-23
Diptera	0	0	2	6	1	1	1	0	1	2
Sarcophagidae	0	0	0	0	0	0	0	0	0	0
Syrphidae	0	0	0	0	0	0	0	0	0	0
Tachinidae	0	0	0	0	0	0	0	0	0	0
Diptera indet.	0	0	2	6	1	1	1	0	1	2
Blattaria	0	0	0	0	0	0	0	0	0	0
Hymenoptera	7	3	0	2	2	0	2	0	1	0
Superfam. Chalcidoidea	0	0	0	0	0	0	0	0	0	0
Formicidae	5	2	0	0	0	0	0	0	1	0
Chrysididae	0	0	0	0	0	0	0	0	0	0
Halictidae	0	0	0	0	0	0	0	0	0	0
Vespidae	0	0	0	0	0	0	0	0	0	0
Braconidae	0	0	0	1	0	0	0	0	0	0
Crabronidae	0	0	0	0	0	0	0	0	0	0
Hymenopt indet.	2	1	0	1	2	0	2	0	0	0
Araneae	0	7	1	0	1	0	0	0	0	0
Disseridae	0	0	0	0	0	0	0	0	0	0
Araneae indet.	0	7	1	0	1	0	0	0	0	0
Coleoptera	1	0	0	2	0	0	2	0	0	0
Curculionidae	0	0	0	1	0	0	0	0	0	0
Coleoptera indet.	1	0	0	1	0	0	2	0	0	0
Hemiptera	0	1	0	1	1	0	0	0	0	1
Reduviidae	0	0	0	0	0	0	0	0	0	0
Pentatomidae	0	0	0	0	0	0	0	0	0	0
Coreidae	0	0	0	0	0	0	0	0	0	0
Hemiptera indet.	0	1	0	1	1	0	0	0	0	1
Lepidoptera	0	0	0	0	0	0	0	0	0	0
Neuroptera	0	0	0	0	0	0	0	0	0	0
Orthoptera	0	0	0	0	0	0	0	0	0	0
Acrididae	0	0	0	0	0	0	0	0	0	0
Orthoptera indet.	0	0	0	0	0	0	0	0	0	0
Stylommatophora	0	0	0	0	0	0	0	0	0	0
Psocoptera	0	0	0	0	0	0	0	0	0	0
Arthropoda indet.	0	0	0	0	0	0	0	1	0	0
Presas	8	11	3	11	5	1	5	0	2	3
Semillas indet.	0	0	0	0	0	0	0	0	0	0

Ejemplar	An_71	An_72	An_73	An_74	An_75	An_76	An_77	An_78	An_79	An_81
Sexo	H	M	indet.	indet.	H	indet.	M	M	H	M
Largo Cabeza	16,21	22,74	12,16	12,61	11,82	10,87	12,07	23,3	16,26	23,23
Ancho Cabeza	8,08	11,01	6,49	5,67	6,27	5,16	6,54	11,65	7,39	12,73
Alto Cabeza	5,58	7,93	3,99	4,14	4,12	3,22	3,66	7,98	5,78	9,21
SVL	60	75	40	41	41	34	39	73	56	73
Localización	Golf Las Américas	Golf Las Américas	Golf Las Américas	Golf Las Américas	Golf Las Américas	Golf Las Américas	Golf Las Américas	Golf Las Américas	Golf Las Américas	Golf Las Américas
Fecha	mar-23	mar-23	ene-23	mar-23	ene-23	ene-23	ene-23	ene-23	mar-23	mar-23
Diptera	1	4	8	2	11	6	11	2	2	2
Sarcophagidae	0	0	0	0	0	0	0	0	0	0
Syrphidae	0	0	0	0	0	0	0	0	0	0
Tachinidae	0	0	0	0	0	0	0	0	0	0
Diptera indet.	1	4	8	2	11	6	11	2	2	2
Blattaria	0	1	0	0	0	0	0	0	0	0
Hymenoptera	0	1	0	2	0	1	9	2	0	0
Superfam. Chalcidoidea	0	0	0	0	0	0	1	0	0	0
Formicidae	0	0	0	0	0	1	8	0	0	0
Chrysididae	0	0	0	0	0	0	0	0	0	0
Halictidae	0	0	0	0	0	0	0	0	0	0
Vespidae	0	0	0	0	0	0	0	0	0	0
Braconidae	0	0	0	0	0	0	0	0	0	0
Crabronidae	0	0	0	0	0	0	0	0	0	0
Hymenopt indet.	0	1	0	2	0	0	0	2	0	0
Araneae	0	0	1	0	0	1	0	0	0	0
Disseridae	0	0	0	0	0	0	0	0	0	0
Araneae indet.	0	0	1	0	0	1	0	0	0	0
Coleoptera	0	1	0	0	0	0	0	0	2	0
Curculionidae	0	0	0	0	0	0	0	0	1	0
Coleoptera indet.	0	1	0	0	0	0	0	0	1	0
Hemiptera	0	0	0	1	0	0	0	1	0	0
Reduviidae	0	0	0	0	0	0	0	0	0	0
Pentatomidae	0	0	0	0	0	0	0	0	0	0
Coreidae	0	0	0	0	0	0	0	0	0	0
Hemiptera indet.	0	0	0	1	0	0	0	1	0	0
Lepidoptera	0	0	0	1	0	1	0	0	0	1
Neuroptera	0	0	0	0	0	0	0	0	0	0
Orthoptera	0	0	0	0	0	0	0	0	1	0
Acrididae	0	0	0	0	0	0	0	0	0	0
Orthoptera indet.	0	0	0	0	0	0	0	0	1	0
Stylommatophora	0	0	0	0	0	0	0	0	0	0
Psocoptera	0	0	0	0	0	0	0	0	0	0
Arthropoda indet.	0	1	0	0	0	0	0	0	0	0
Presas	1	7	9	6	11	9	20	5	5	3
Semillas indet.	0	0	0	0	0	0	0	0	0	1

Ejemplar	An_82	An_83	An_84	An_85	An_86	An_87	An_88	An_89	An_90	An_91
Sexo	H	M	H	H	H	M	M	H	M	M
Largo Cabeza	18,13	24,69	15,4	15,62	16,14	24,58	24,64	16,16	23,27	23,38
Ancho Cabeza	8,1	12,76	7,55	8,17	9,2	12,78	12,12	7,62	12,75	12,92
Alto Cabeza	6,43	9,49	4,97	4,53	4,1	9,22	8,77	4,97	7,84	8,25
SVL	63	76	55	54	58	79	84	55	77	75
Localización	Golf Las Américas	Golf Las Américas	Golf Las Américas	Golf Las Américas	Golf Las Américas	Golf Las Américas	Golf Las Américas	Golf Las Américas	Golf Las Américas	Golf Las Américas
Fecha	mar-23	mar-23	mar-23	mar-23	mar-23	mar-23	mar-23	mar-23	mar-23	mar-23
Diptera	3	16	2	3	2	0	0	1	3	2
Sarcophagidae	0	0	0	0	0	0	0	0	0	0
Syrphidae	0	0	0	0	0	0	0	0	0	0
Tachinidae	0	0	0	0	0	0	0	0	0	0
Diptera indet.	3	16	2	3	2	0	0	1	3	2
Blattaria	0	0	0	0	0	0	0	0	0	1
Hymenoptera	0	0	4	0	2	3	13	2	1	0
Superfam. Chalcidoidea	0	0	0	0	0	0	0	0	0	0
Formicidae	0	0	0	0	0	2	13	1	0	0
Chrysididae	0	0	1	0	0	0	0	0	0	0
Halictidae	0	0	0	0	0	0	0	0	0	0
Vespidae	0	0	0	0	0	1	0	0	0	0
Braconidae	0	0	0	0	0	0	0	0	0	0
Crabronidae	0	0	0	0	0	0	0	0	0	0
Hymenopt indet.	0	0	3	0	2	0	0	1	1	0
Araneae	0	0	0	1	0	0	0	0	0	0
Disderidae	0	0	0	0	0	0	0	0	0	0
Araneae indet.	0	0	0	1	0	0	0	0	0	0
Coleoptera	0	0	0	0	0	0	1	0	0	0
Curculionidae	0	0	0	0	0	0	0	0	0	0
Coleoptera indet.	0	0	0	0	0	0	1	0	0	0
Hemiptera	0	0	1	0	0	0	0	0	1	0
Reduviidae	0	0	0	0	0	0	0	0	0	0
Pentatomidae	0	0	0	0	0	0	0	0	0	0
Coreidae	0	0	0	0	0	0	0	0	0	0
Hemiptera indet.	0	0	1	0	0	0	0	0	1	0
Lepidoptera	0	0	1	1	1	0	0	0	1	2
Neuroptera	0	0	0	0	0	0	0	0	0	0
Orthoptera	0	0	0	0	0	0	0	0	0	0
Acrididae	0	0	0	0	0	0	0	0	0	0
Orthoptera indet.	0	0	0	0	0	0	0	0	0	0
Stylommatophora	0	0	0	0	0	0	0	0	0	1
Psocoptera	0	0	0	0	0	0	0	0	0	0
Arthropoda indet.	0	0	0	0	0	0	0	0	0	0
Presas	3	16	8	5	5	3	14	3	6	6
Semillas indet.	0	0	0	0	0	0	0	0	0	1

Ejemplar	An_92	An_93	An_94	An_95
Sexo	M	indet.	M	M
Largo Cabeza	25,23	19,53	22,18	23,63
Ancho Cabeza	12,41	9,64	9,79	11,29
Alto Cabeza	8,49	6,65	6,65	8,75
SVL	76	65	75	78
Localización	Golf Las Américas	Golf Las Américas	Golf Las Américas	Golf Las Américas
Fecha	mar-23	mar-23	mar-23	mar-23
Diptera	2	1	0	0
Sarcophagidae	0	0	0	0
Syrphidae	0	0	0	0
Tachinidae	0	0	0	0
Diptera indet.	2	1	0	0
Blattaria	1	0	0	1
Hymenoptera	1	0	9	2
Superfam. Chalcidoidea	0	0	0	0
Formicidae	1	0	4	0
Chrysididae	0	0	0	0
Halictidae	0	0	0	0
Vespidae	0	0	0	0
Braconidae	0	0	0	0
Crabronidae	0	0	0	0
Hymenopt indet.	0	0	5	2
Araneae	0	0	5	0
Disderidae	0	0	0	0
Araneae indet.	0	0	5	0
Coleoptera	0	0	0	0
Curculionidae	0	0	0	0
Coleoptera indet.	0	0	0	0
Hemiptera	0	0	0	0
Reduviidae	0	0	0	0
Pentatomidae	0	0	0	0
Coreidae	0	0	0	0
Hemiptera indet.	0	0	0	0
Lepidoptera	0	1	1	0
Neuroptera	0	0	1	1
Orthoptera	0	0	0	0
Acrididae	0	0	0	0
Orthoptera indet.	0	0	0	0
Stylommatophora	0	0	0	0
Psocoptera	0	0	0	0
Arthropoda indet.	0	1	0	0
Presas	4	2	16	4
Semillas indet.	0	0	0	0

